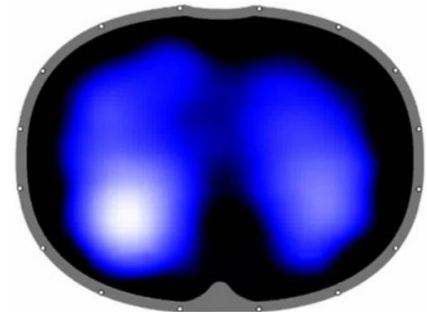


DU MKREA 2024



Tomographie par Impédance Electrique

Principe, Mise en place et Applications Cliniques pour le MKREA



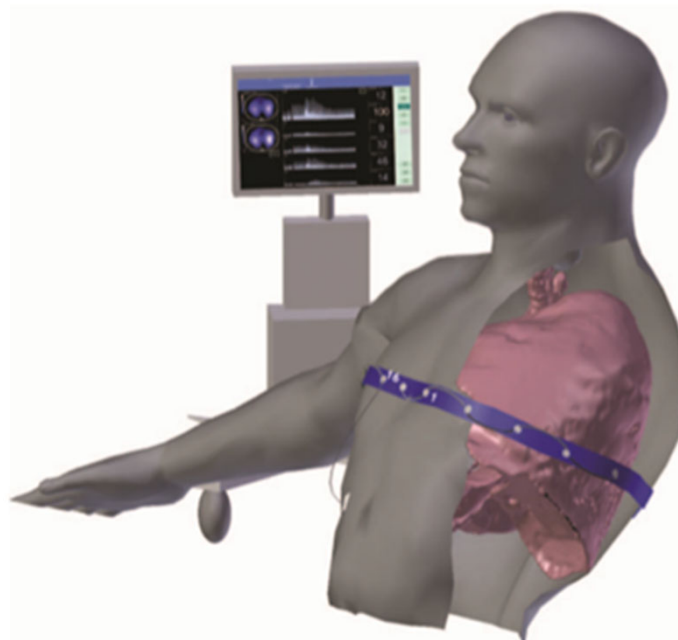
Alexandre GARCIA MKDE
*CHU de Bordeaux - Magellan
Réanimation Chirurgicale
Thoracique & Digestive*

Pas de Conflits d'Intérêts

TIE

Tomographie par impédance électrique

Monitorage de la fonction pulmonaire impédancemétrie

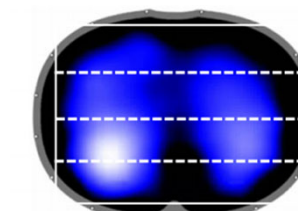


Rowley et al. 2019

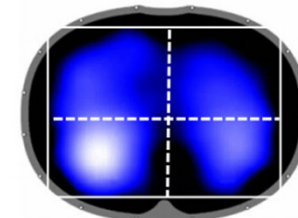
- ✓ Non invasive
- ✓ Au lit du patient

- ✓ Dynamique
- ✓ Validé

Distribution de l'impédance
=
Distribution de l'air



ventral	10%
mid-ventral	38%
mid-dorsal	40%
dorsal	12%



right upper	25%
right lower	30%
left upper	22%
left lower	23%

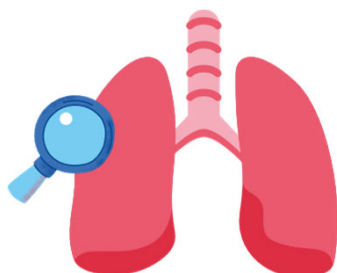
- Shono et Kotani
2019 +

TIE & MKDE

Tomographie par impédance électrique

Evaluation des pratiques

Recherche
Pratique Clinique



Individualisation du soin

TIE

OBJECTIFS PEDAGOGIQUES



- S'approprier les bases de fonctionnement TIE
- Connaître les étapes de mise en place TIE
- Interpréter les mesures TIE et connaître leurs limites

- Place du TIE dans la pratique clinique du MKREA ?
- Retour d'expérience



TIE

Principe de Fonctionnement



TIE

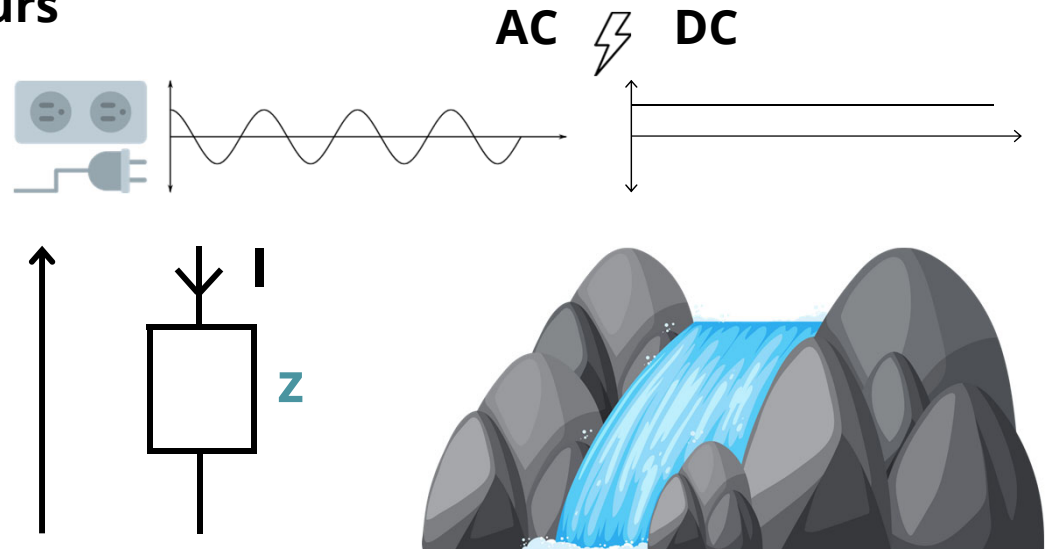
L'Impédance Z

Circuit électrique basique - 3 grandeurs

⚡ **Courant** - I (Ampère)

⚡ **Tension** - U (Volt)

⚡ **Impédance** - Z (Ohm)



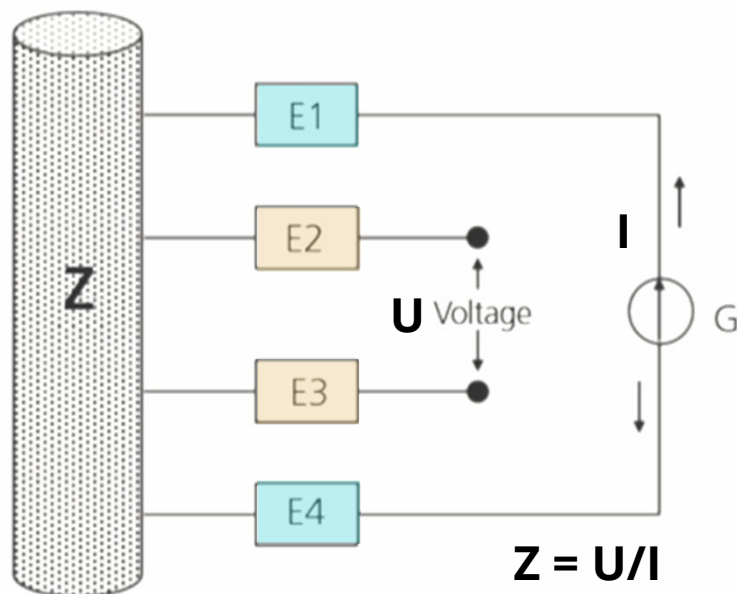
L'impédance est la propriété d'un système **à résister** au passage
d'un **courant électrique alternatif**.

Loi d'Ohm - [U (volt) = Z (Ohm) * I (Ampère)]

TIE

Bio-impédance

La Bioimpédance (Ohm.m) : propriété d'un **tissu biologique à résister** au passage d'un **courant électrique alternatif**.



Tissu biologique

⚡ **Quantité de fluides**

⚡ **Proportions d'électrolytes conducteurs (ions)**

Conditions de mesure

⚡ **Fréquence & Direction du courant injecté**

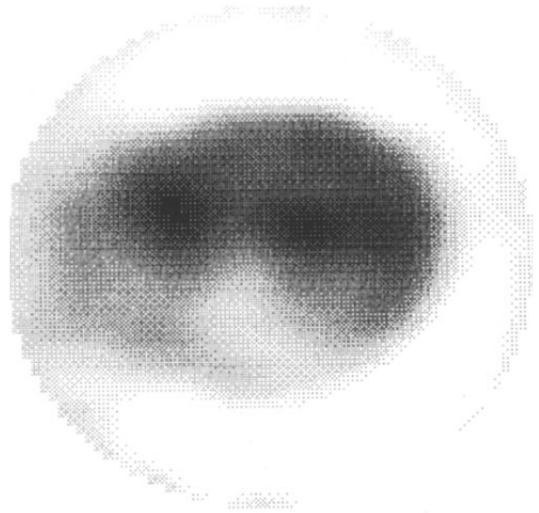
Sánchez-Iglesias, Fernández-Lucas, et Teruel
2012

TIE

TIE : historique



Tomo- "coupure" / -graphe "image"



Distribution spatiale de l'impédance de tissus biologiques suivant une **coupe transversale**

TIE décrit pour la première fois en **1984**

D C Barber & H B Brown



Coupe Transversale d'un avant-bras

Figure 3. An applied potential tomography image of a forearm constructed from a 16-electrode circular array. The arm was placed into an 80 mm diameter saline-filled tank whose outline is visible on the image.

D C Barber & H B Brown

TIE

TIE du Thorax

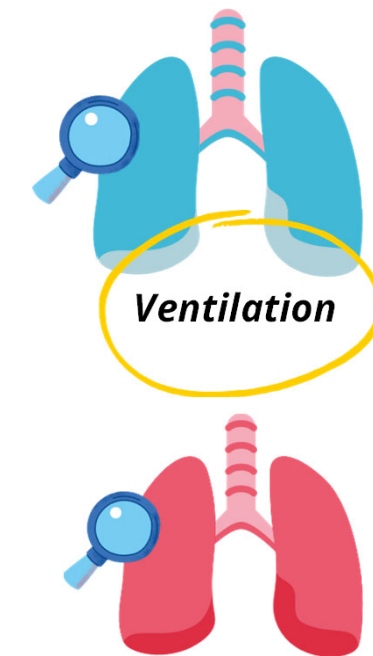


Table 1. Electrical resistivity of thoracic tissues.

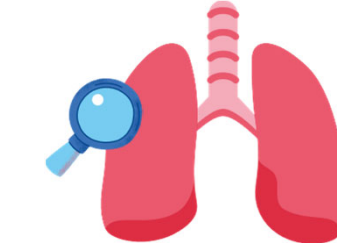
Tissue	Resistivity ($\Omega \cdot \text{cm}$)
Blood	150
Lungs, inspiration	2400
Lungs, expiration	700
Heart muscle, longitudinal	125
Heart muscle, transversal	1800
Skeletal muscle, longitudinal	160–575
Skeletal muscle, transversal	420–5200
Fat	2000–2700
Bone	16,600

Putensen et al. 2019

Phénomènes Physiologiques
Variations d'Impédance



Ventilation

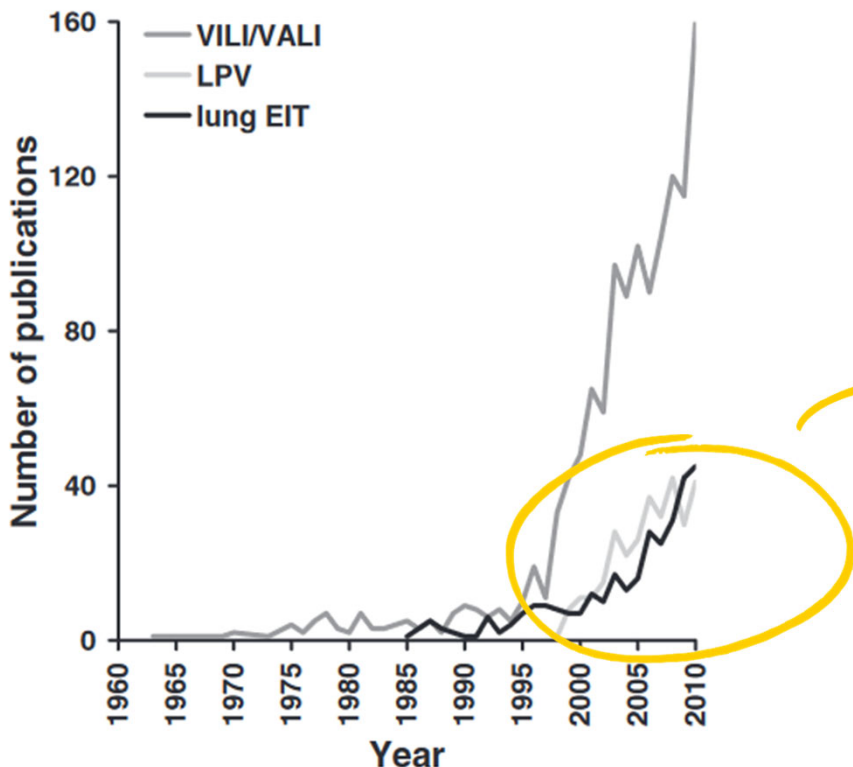


Perfusion



TIE

TIE du Thorax



1995 Etude croissante des **VILI**

2000 Emergence de la **Ventilation Protectice**

Besoin de **caractériser la réponse régionale du poumon à la ventilation mécanique**

Developpement des outils de monitorage
Guider les stratégies de soin

Figure 1. Number of publications on VILI/VALI, LPV and lung EIT published in peer-reviewed journals. (Source: ISI Web of Knowledge, Thomson Reuters, New York, USA.)

Adler et al. 2012

TIE Dispositifs



Images issues de https://www.draeger.com/fr_fr/Products/PulmoVista-500

TIE

Dispositifs

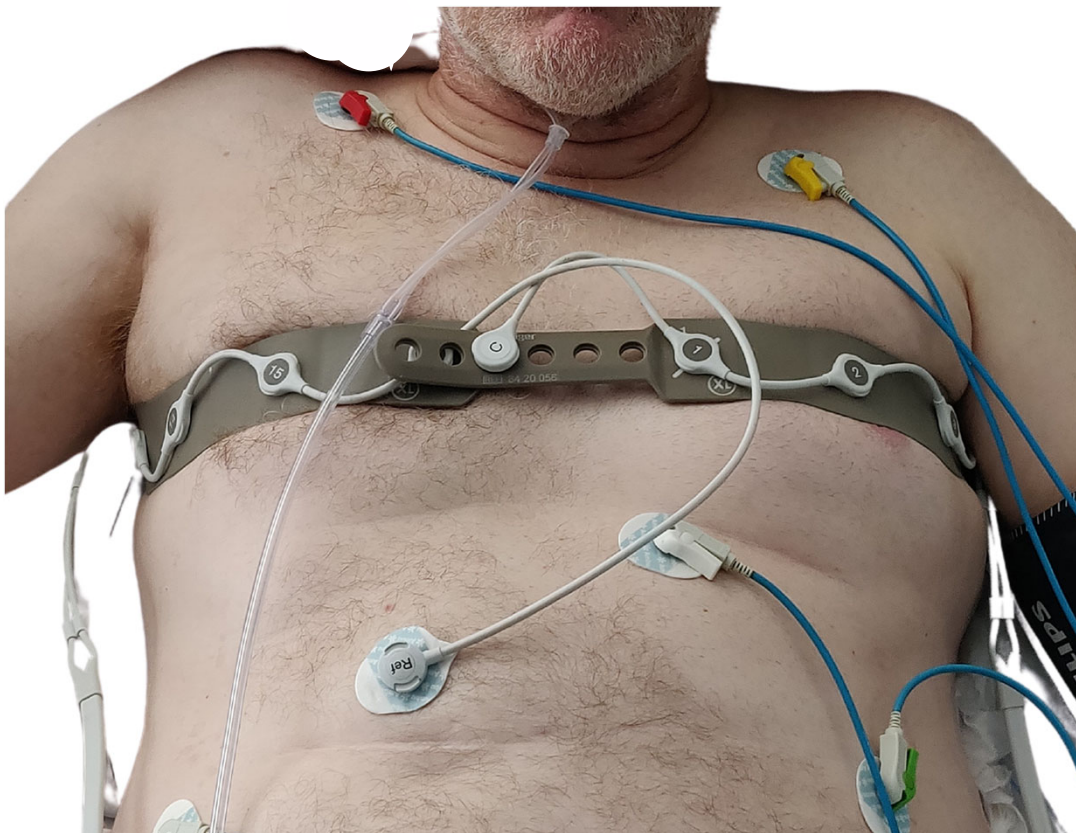
Table 2. Commercially available electrical impedance tomography (EIT) devices.

Manufacturer	EIT System	→ Electrodes		→ Image Reconstruction Algorithm	→ Measurement and Data Acquisition
		Number	Configuration		
Swisstom AG	BB ²	32	electrode belt	Graz consensus reconstruction algorithm for EIT (GREIT) algorithm for EIT (GREIT)	pair drive (adjustable skip) serial measurement
Timpel SA	Enlight	32	electrode stripes	Finite Element Method-based Newton-Raphson method	pair drive (3-electrode skip) parallel measurement
CareFusion	Goe-MF II	16	individual electrodes	Sheffield back-projection	pair drive (adjacent) serial measurement
Dräger Medical	PulmoVista 500	16	electrode belt	Finite Element Method-based	pair drive (adjacent) serial measurement
Maltron Inc	Mark 1	16	individual electrodes	Newton-Raphson method	pair drive (adjacent)
	Mark 3.5	8	individual electrodes	Sheffield back-projection	serial measurement

Putensen et al. 2019

TIE

Mesure & Acquisition des données



Positionnement de la ceinture

Karsten J et al. 2016

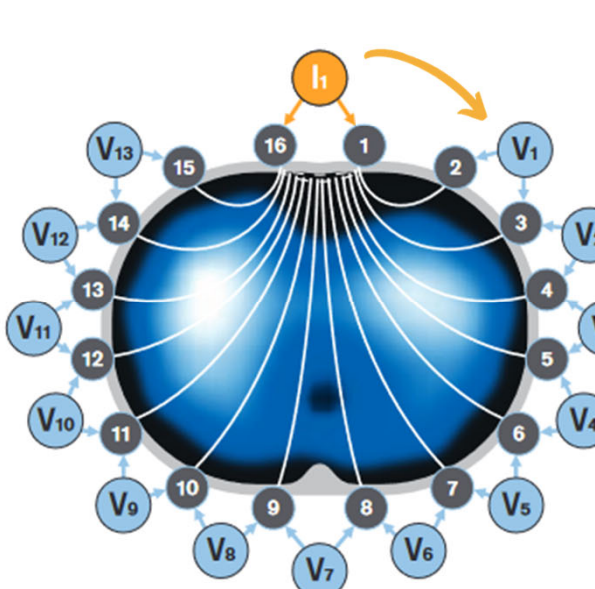
- **4 - 6ème espace intercostal**
- **Ligne parasternale**
- **Contact peau**

Perturbation des mesures

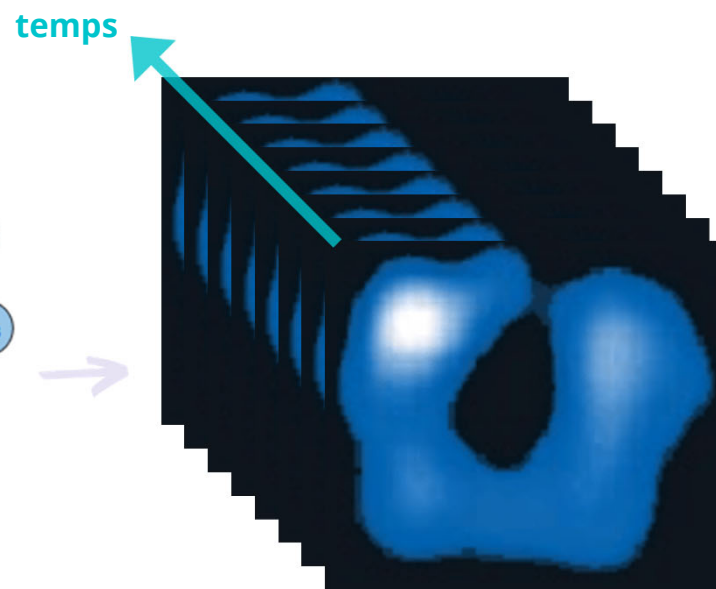
- Pansements, fils de sutures,
- **Mouvements, paroles**

TIE

Mesure & Acquisition des données

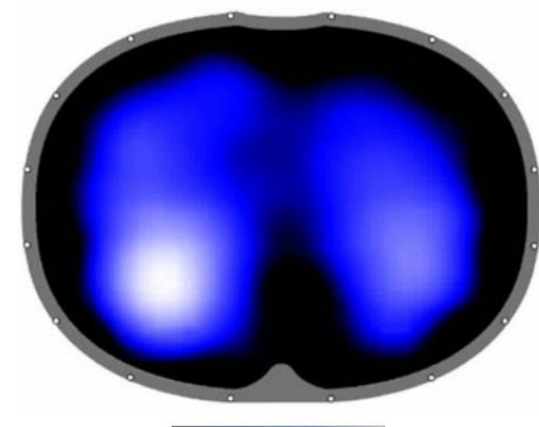


Acquisition
 $Z=V/I$



Génération images 2D
32x32 pixels

Imagerie relative
Variation Impédance
fin d'inspiration

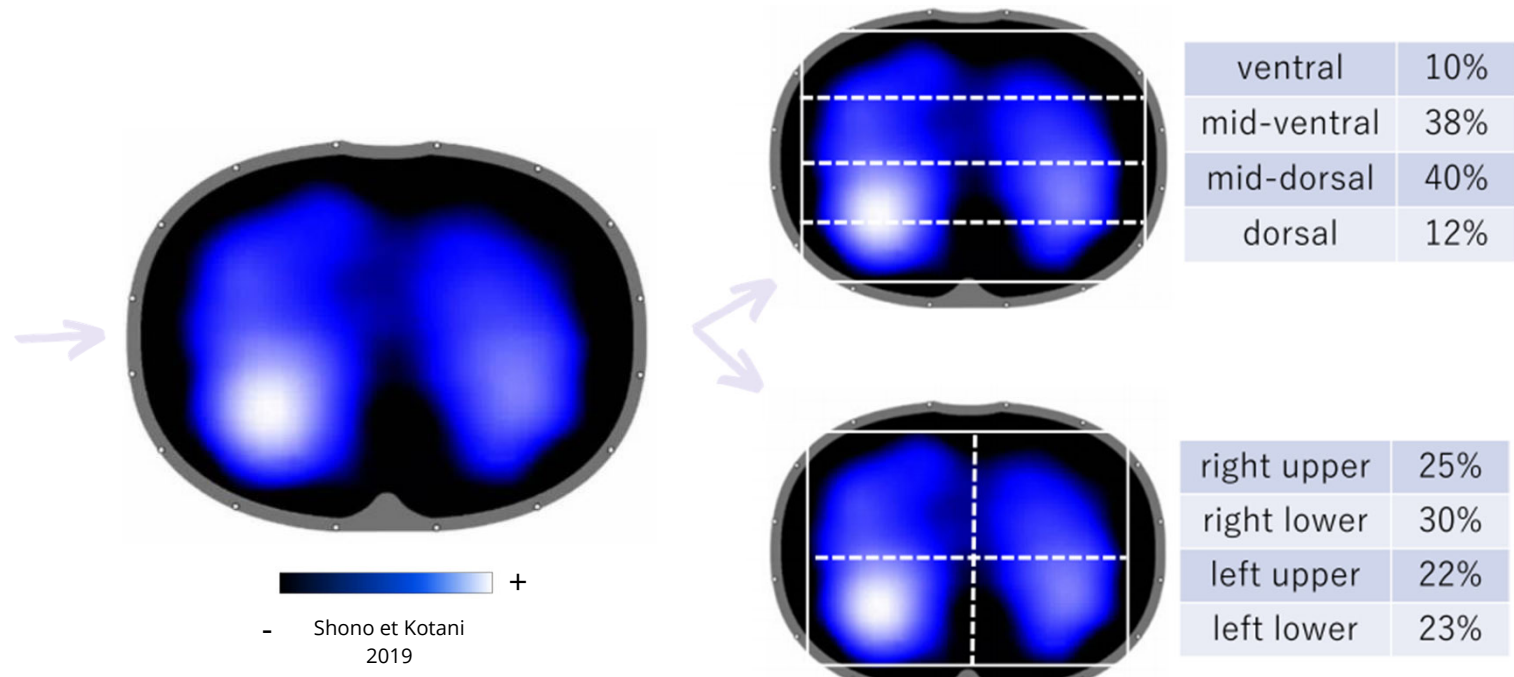
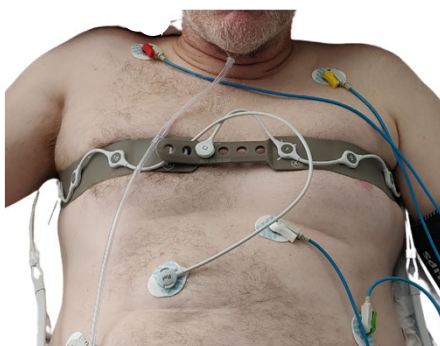


Frame rate 25/sec

Variation d'impédance = Variation de volume
Van Genderingen et al. 2003

TIE

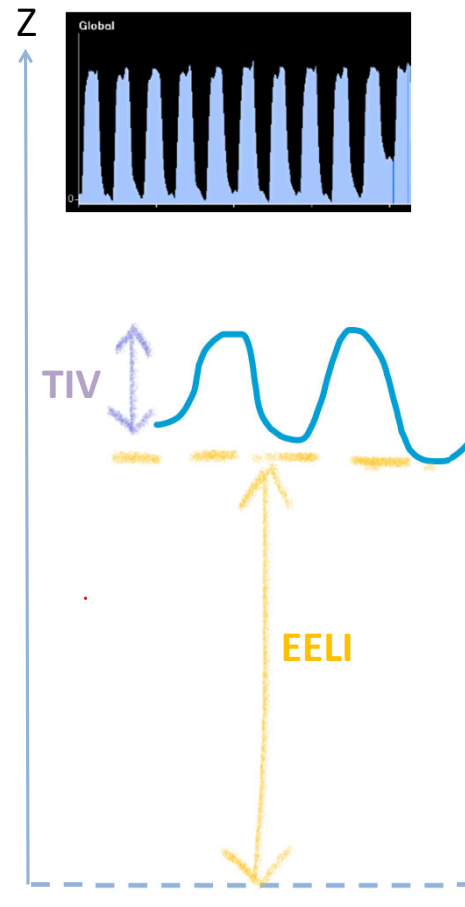
Analyse Régionale





TIE

Données TIE Monitorées



TIV

Tidal Impedance Variation

→ reflet du **Vt**

Van Genderingen et al. 2003

VENTILATION

EELI

End Expiratory Lung Impedance

→ reflet **EELV : CRF**

Hinz et al. 2003

AERATION

TIE

Données TIE Monitorées

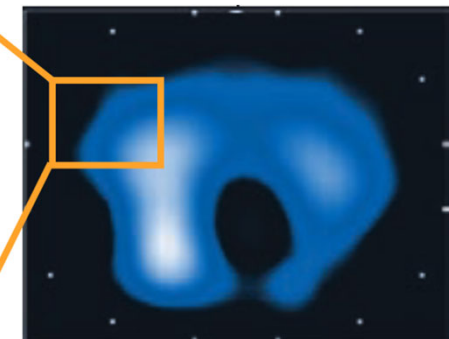
TIV

Tidal Impedance Variation

→ reflet du **Vt**

Van Genderingen et al. 2003

4,7	5,0	5,1	5,8	6,3
5,4	5,9	6,9	7,7	7,2
6,1	7,4	8,6	9,5	11,3
6,8	8,6	9,5	12,8	15,4
7,3	8,9	10,4	14,5	16,1



Teschner, Imhoff, et Leonhardt, s. d.

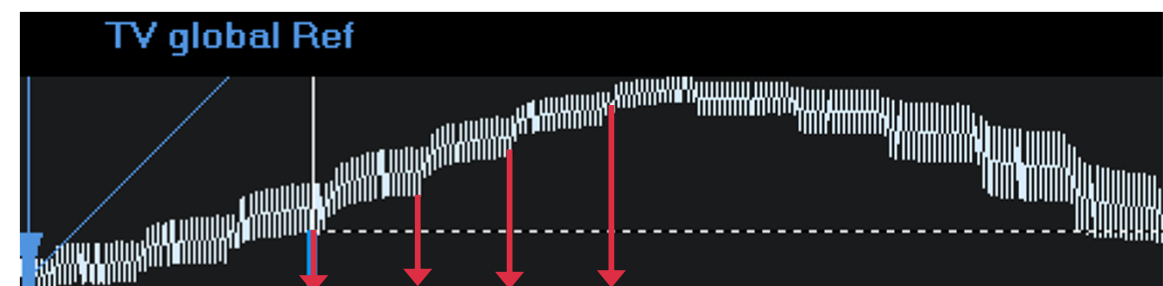
EELI

End Expiratory Lung Impedance

→ reflet **EELV : CRF**

Hinz et al. 2003

RECRUTEMENT



TIE

Données TIE Monitorées

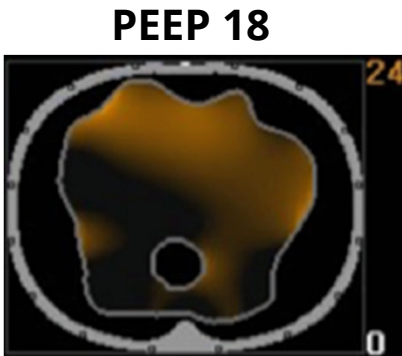
Intubé / Ventilé

Regional Respiratory System Compliance

→ Compliance régionale : TIV pixel / Pression Motrice globale

→ **Estimation des zones Surdistendues / Collabées (atelectasiées)**

Costa et al. 2009



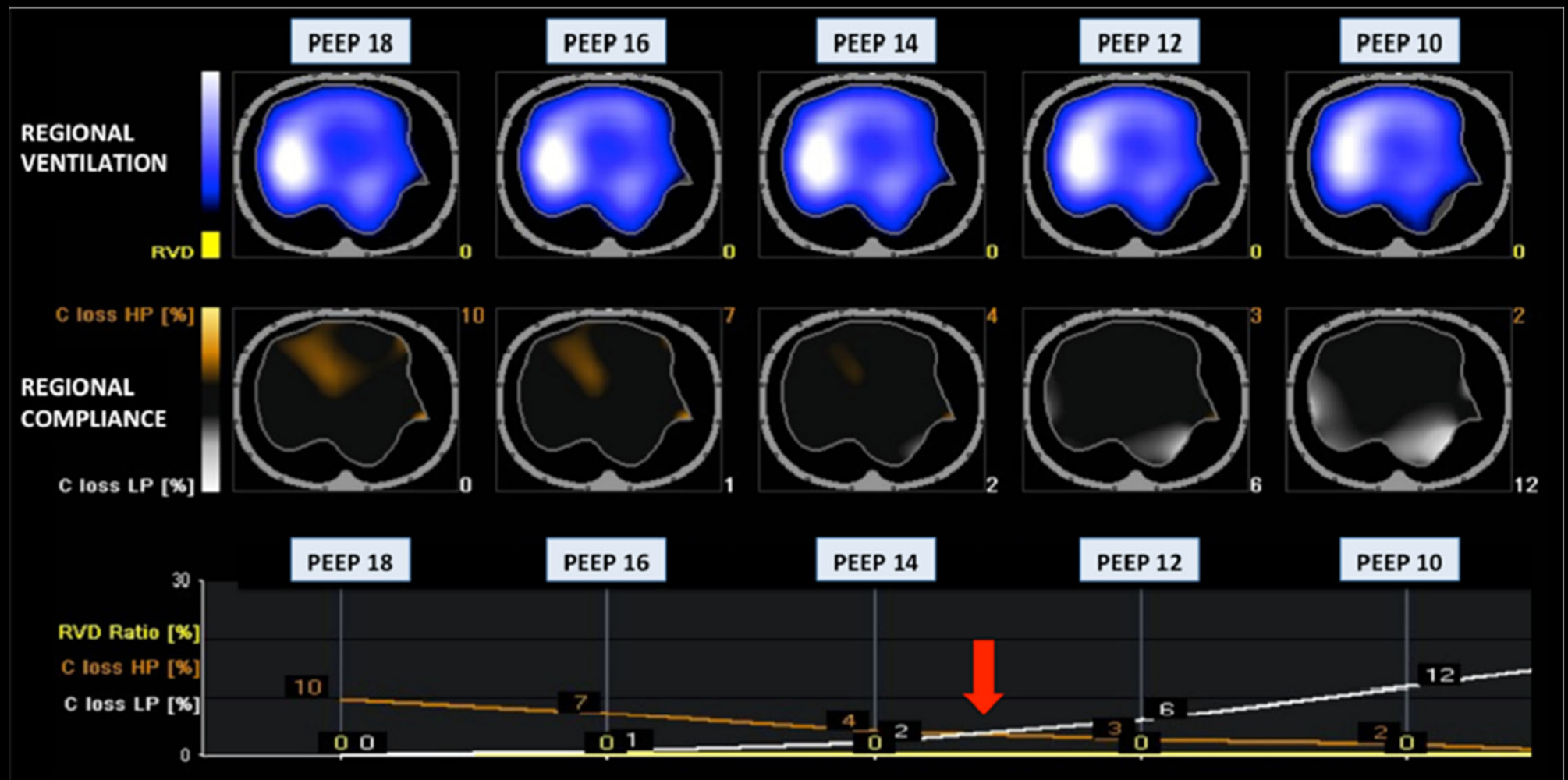
Surdistention



Atelectasie

Sella et al. 2020

Titrage PEEP
SDRA
ECMO



Sella et al. 2020

TIE

Données TIE Analysées

G.I

Global Inhomogeneity index Zhao et al. 2009

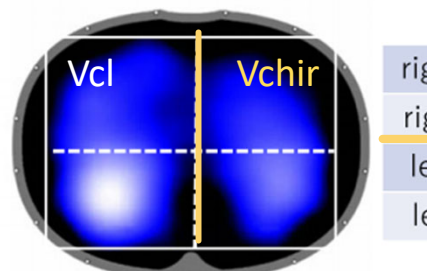
→ Reflet de l'hétérogénéité de la distribution du TIV = Vt

Homogénéité de la Ventilation

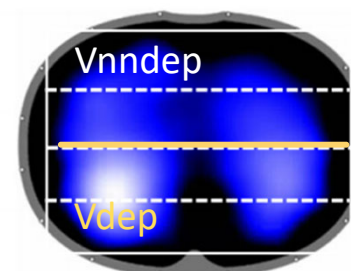
RV

Ratio de Ventilation

→ Observation de la redistribution de la ventilation suivant des zones d'interêts



right upper	25%
right lower	30%
left upper	22%
left lower	23%



ventral	10%
mid-ventral	38%
mid-dorsal	40%
dorsal	12%

- Shono et Kotani +
2019

TIE

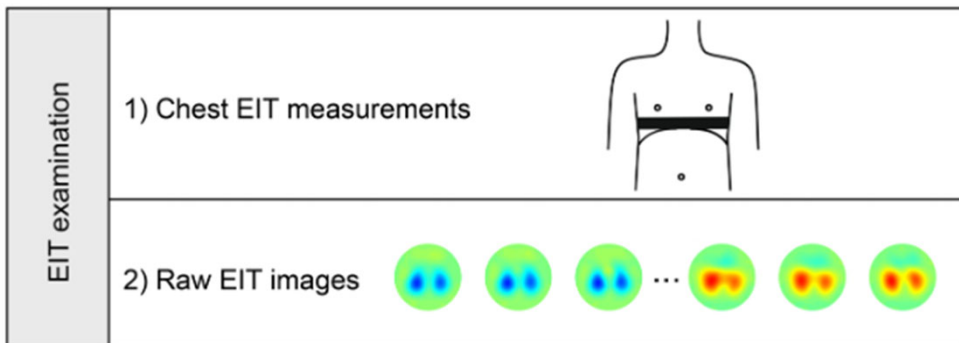
Monitorage de la fonction Pulmonaire



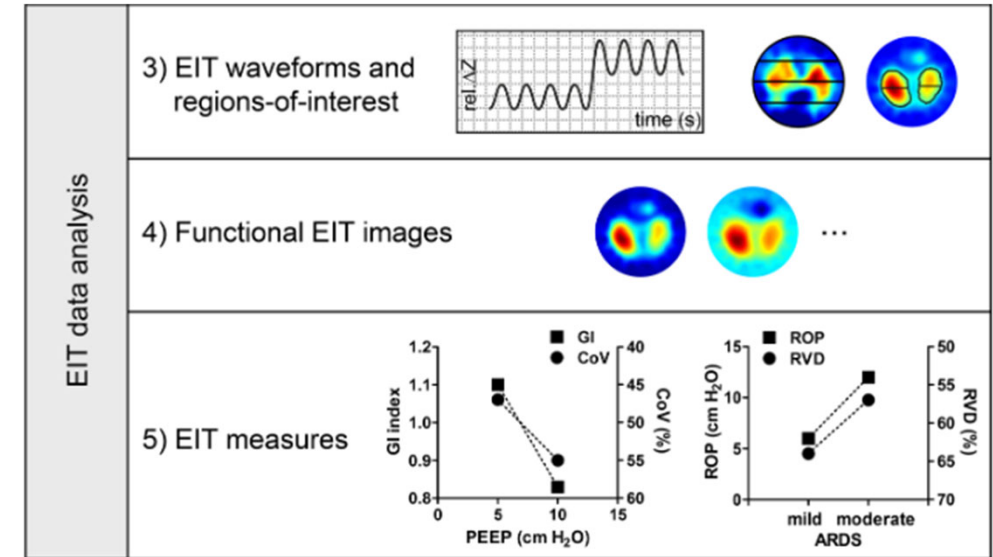
OPEN ACCESS

Chest electrical impedance tomography examination, data analysis, terminology, clinical use and recommendations: consensus statement of the TRanslational EIT developmeNt stuDy group

Examination du patient



Analyse des données



Frerichs et al. 2017

TIE

Mise en Place

TIE

Mise en Place

Contre-Indication



Taille de la ceinture

Humidification des électrodes

Placement ceinture

Référence

Connexion à la centrale

Mise en route TIE

- **DM actif** : Pacemaker, défibrillateur
- **Etat cutanée endommagé, pansement sur la zone d'observation**
- **Risque lié à la mise en place de la ceinture** (fracture, lésions spinales, etc.)
- **Mouvement incontrôlables**
- **Electrothérapie en cours**
- Présence d'un champ magnétique (**IRM**)
- **Volume courant < 1 ml/kg**
- **IMC > 50 kg.m⁻²**

TIE

Mise en Place

Taille de la ceinture

Humidification des électrodes

Placement ceinture

Référence

Connexion à la centrale

Mise en route TIE



S

M

L

XL

XXL

TIE

Mise en Place

Taille de la ceinture

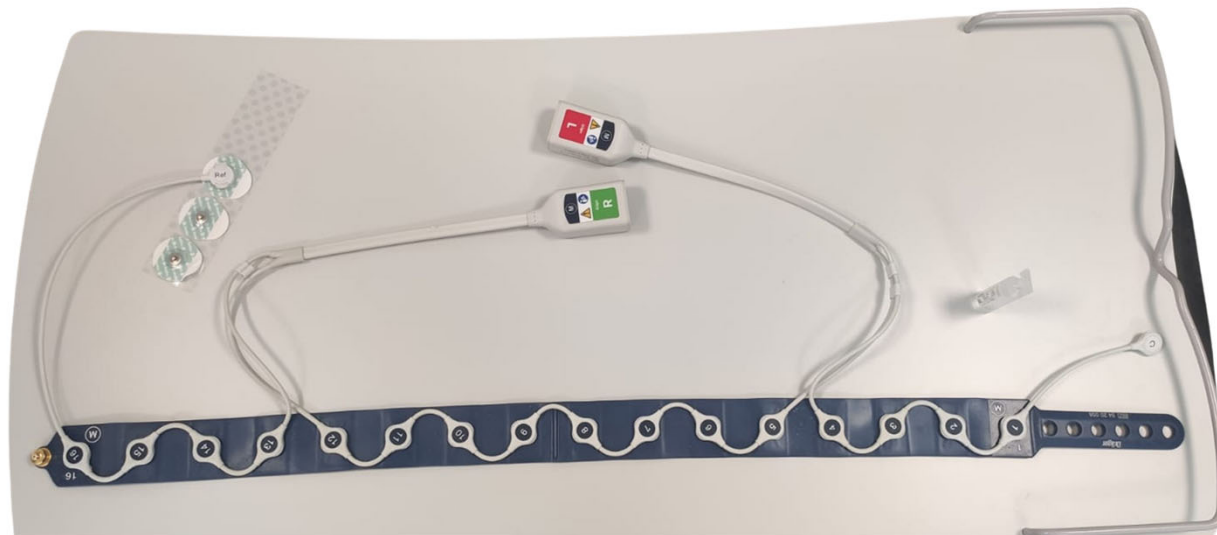
Humidification des électrodes

Placement ceinture

Référence

Connexion à la centrale

Mise en route TIE



TIE

Mise en Place

Taille de la ceinture ✓

Humidification des électrodes

Placement ceinture

Référence

Connexion à la centrale

Mise en route TIE



TIE

Mise en Place

Taille de la ceinture ✓

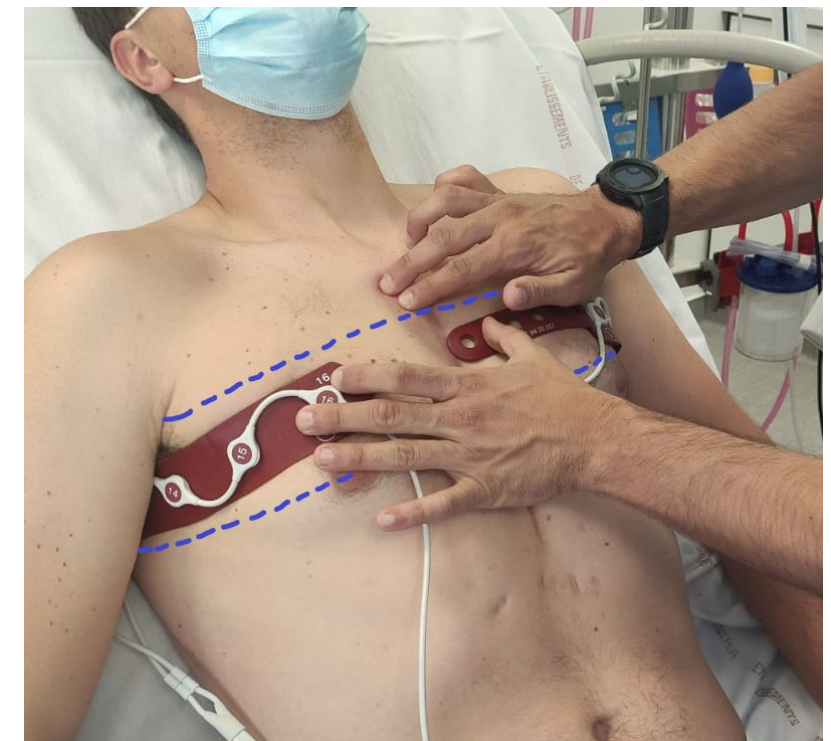
Humidification des électrodes ✓

Placement ceinture

Référence

Connexion à la centrale

Mise en route TIE



4-6ème espace intercostale

TIE

Mise en Place

Taille de la ceinture ✓

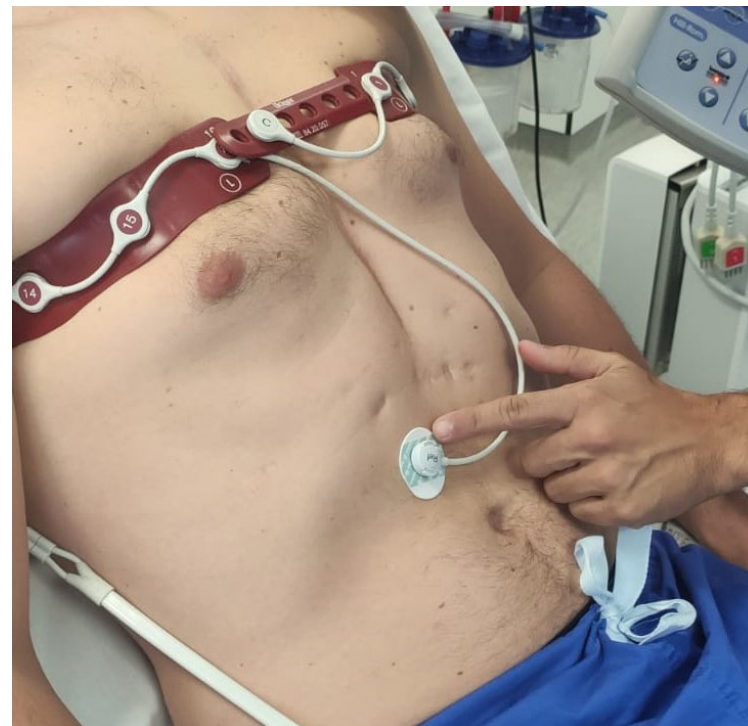
Humidification des électrodes ✓

Placement ceinture ✓

Référence

Connexion à la centrale

Mise en route TIE



TIE

Mise en Place

Taille de la ceinture ✓

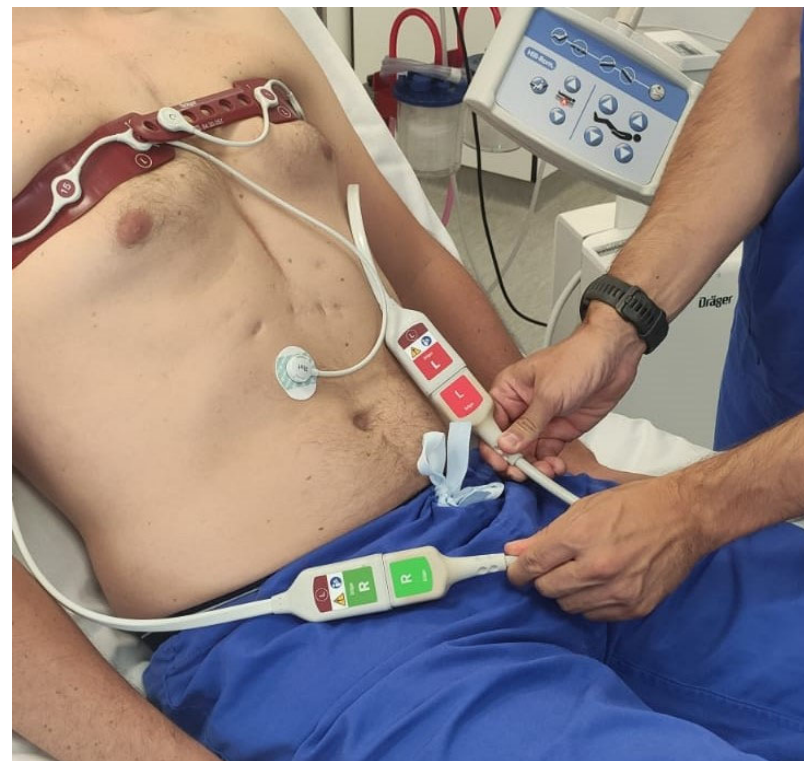
Humidification des électrodes ✓

Placement ceinture ✓

Référence ✓

Connexion à la centrale

Mise en route TIE



TIE

Mise en Place

Taille de la ceinture ✓

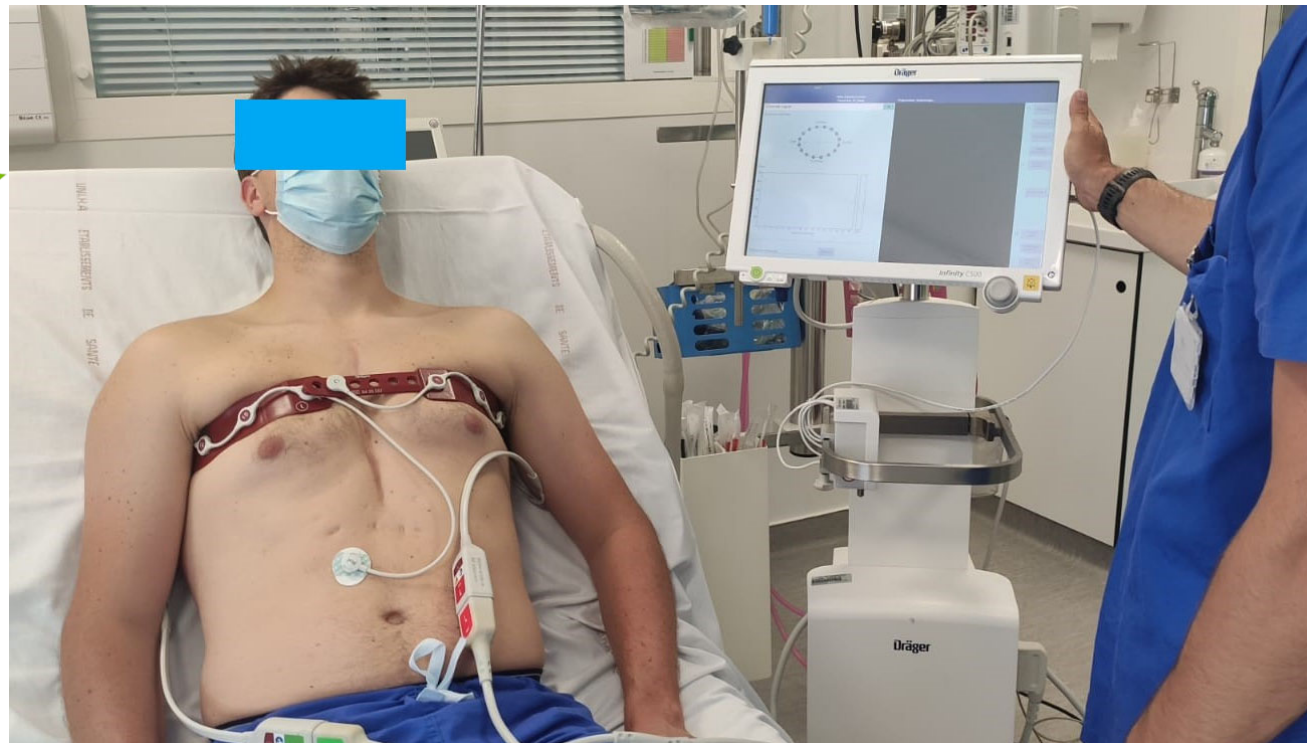
Humidification des électrodes ✓

Placement ceinture ✓

Référence ✓

Connexion à la centrale ✓

Mise en route TIE 





TIE

Intérêts pour le MKREA

Recherche

&

Applications Cliniques

TIE

Intérêts pour le MKREA

OUTIL DE MONITORAGE

-  **Non invasive**
-  **Dynamique**
-  **Au lit du patient**
-  **Validé**

OBSERVATION DE LA DISTRIBUTION DE LA VENTILATION EN TEMPS RÉEL

ANALYSE FONCTIONNELLE DES RÉGIONS PULMONAIRES DISTINCTES RECRUTEMENT / COMPLIANCE

ANALYSE DE LA RÉPONSE DES RÉGIONS PULMONAIRES À DIFFÉRENTES MESURES THÉRAPEUTIQUES

TIE

Recherche Clinique

Etudes Physiologiques

Evaluation des pratiques

Applications Cliniques



- TIE & Thérapie d'Expansion Pulmonaire
- TIE & Mobilisation précoce
- TIE & Positionnement
- TIE & VNI
- TIE & Sevrage Ventilatoire
- TIE & OHDN
- TIE & Pédiatrie

Reychler et al. 2018
Rowley et al. 2019



Hickmann et al. 2020
Yuan et al. 2021
Eimer et al. 2021

Lehman et al. 2018
Riedel et al. 2005

Pérez-Teran et al. 2019
Bordes et al. 2016
Wang et al. 2021
Longhini et al. 2019

Mauri et al. 2017
Zhang et al. 2020
Yuan et al. 2020

Thomson et al. 2020



Recherche Clinique

Aspiration EndoTrachéale

Evaluation des pratiques

**End-expiratory lung volume recovers more slowly after closed endotracheal suctioning than after open suctioning:
A randomized crossover study[☆]**

Amanda Corley RN, BN, GradCertHSci^{a,*}, Amy J. Spooner RN, BN, GradDipICU^a,
Adrian G. Barnett BSc(Hon), PhD^b, Lawrence R. Caruana BPty^a,
Naomi E. Hammond RN, BN, MN, MPH^a, John F. Fraser MBChB, PhD^a

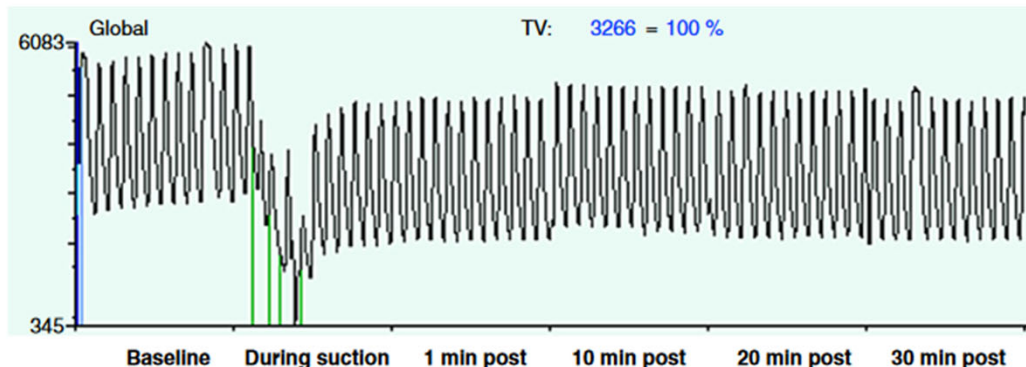


Fig. 3 Representative recording of lung volume loss during CS and recovery postsuction.

→ Propose une manœuvre de recrutement post-aspi

Circuit clos Vs ouvert
20 patients
post-chirurgie cardiaque

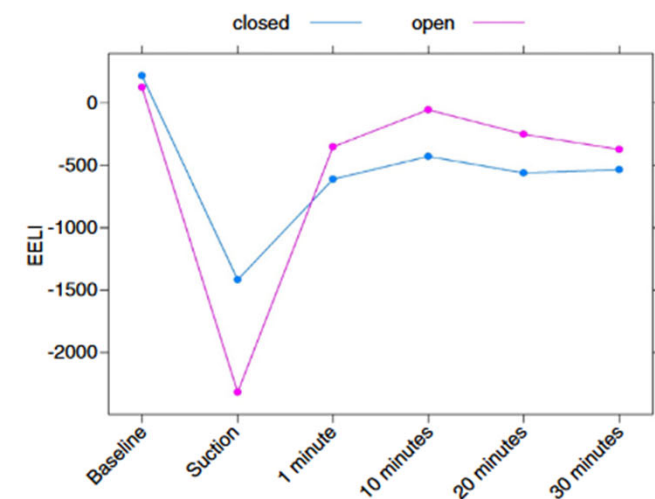


Fig. 4 Mean changes in EELI by suction method demonstrating slower recovery after CS.

Recherche Clinique

Oxygénation à Haut Débit Nasal (OHND)

Etude physiologique

Physiologic Effects of High-Flow Nasal Cannula in Acute Hypoxemic Respiratory Failure

Tommaso Mauri^{1,2}, Cecilia Turrini^{1,3}, Nilde Eronia⁴, Giacomo Grasselli¹, Carlo Alberto Volta³, Giacomo Bellani^{4,5}, and Antonio Pesenti^{1,2}

15 patients en IRA Hypoxémique - P/F < 300

20 min OHDN 40 L/min

Cross over : 20 min masque facial 12L/min

↘ FR ↘ travail respiratoire ↗ P/F

✗ Recrutement (EELI) = effet PEEP

✗ Homogénéisation de la ventilation

✗ Sans modification du Vt

→ Limitation des zones de distentions au sein du parenchyme

Table 3. Effects of HFNC on Lung Aeration, Homogeneity, and Respiratory Pattern

Variable	Oxygen Facial Mask	High-Flow Nasal Cannula	P Value*
ΔEELI _{glob} (change from facial mask), % of baseline V _t	—	51 ± 57	<0.001
ΔEELI _{non-dep} (change from facial mask), % of baseline V _t	—	29 ± 36	≤0.001
ΔEELI _{dep} (change from facial mask), % of baseline V _t	—	26 ± 33	≤0.01
GI index	0.50 (0.49 to 0.57)	0.47 (0.43 to 0.60)	<0.01
PIF _{glob} (change from facial mask), %	—	-15 ± 23	0.07
PEF _{glob} (change from facial mask), %	—	-27 ± 22	≤0.001
PIF _{non-dep} (change from facial mask), %	—	-11 ± 29	0.29
PIF _{dep} (change from facial mask), %	—	-20 ± 19	<0.01
PEF _{non-dep} (change from facial mask), %	—	-19 ± 32	0.07
PEF _{dep} (change from facial mask), %	—	-34 ± 18	<0.001
T _i , s	1.2 ± 0.2	1.2 ± 0.3	0.84
T _e , s	1.3 ± 0.2	1.5 ± 0.6	<0.05
T _i /T _{tot}	0.5 ± 0.0	0.4 ± 0.0	<0.05

Recherche Clinique

Oxygénation à Haut Débit Nasal (OHND)

Effect of postextubation high-flow nasal cannula therapy on lung recruitment and overdistension in high-risk patient

Rui Zhang^{1†}, Huaiwu He^{1†}, Long Yun^{1*} , Xiang Zhou¹, Xu Wang¹, Yi Chi¹, Siyi Yuan¹ and Zhanqi Zhao^{2,3}

24 patients post-extubation (24h) **réa post-chir** (dig, cardio, tho)

OHND 0 L/min, 20min **20 L/m**, 20min **40 L/m**, 20min **60 L/m**

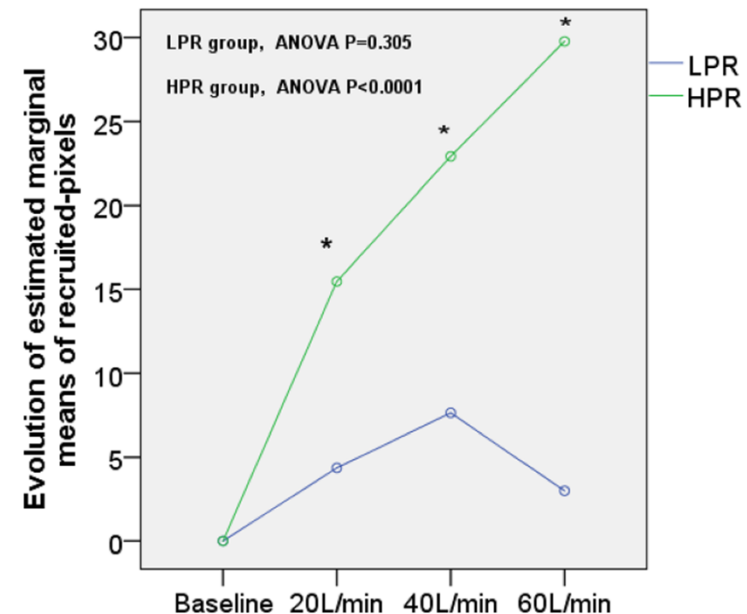
Analyse ventro-dorsal (4 ROI) : TIV & EELI

(13) HPR : >10 pixels Surdistention : > 10 pixels Arbitraire
(11) LPR : <10 pixels aéré non ventilé Cut-off ?

- ✗ Recrutement (EELI) ROI 3/4
- ✗ Pas de différences P/F, ROX index entre HPR et LPB
- ✗ OHND surdistention pixels LPR (4/11) > HPR (0/13)

→ TIE monitorage OHDN = Individualisation

Application Clinique



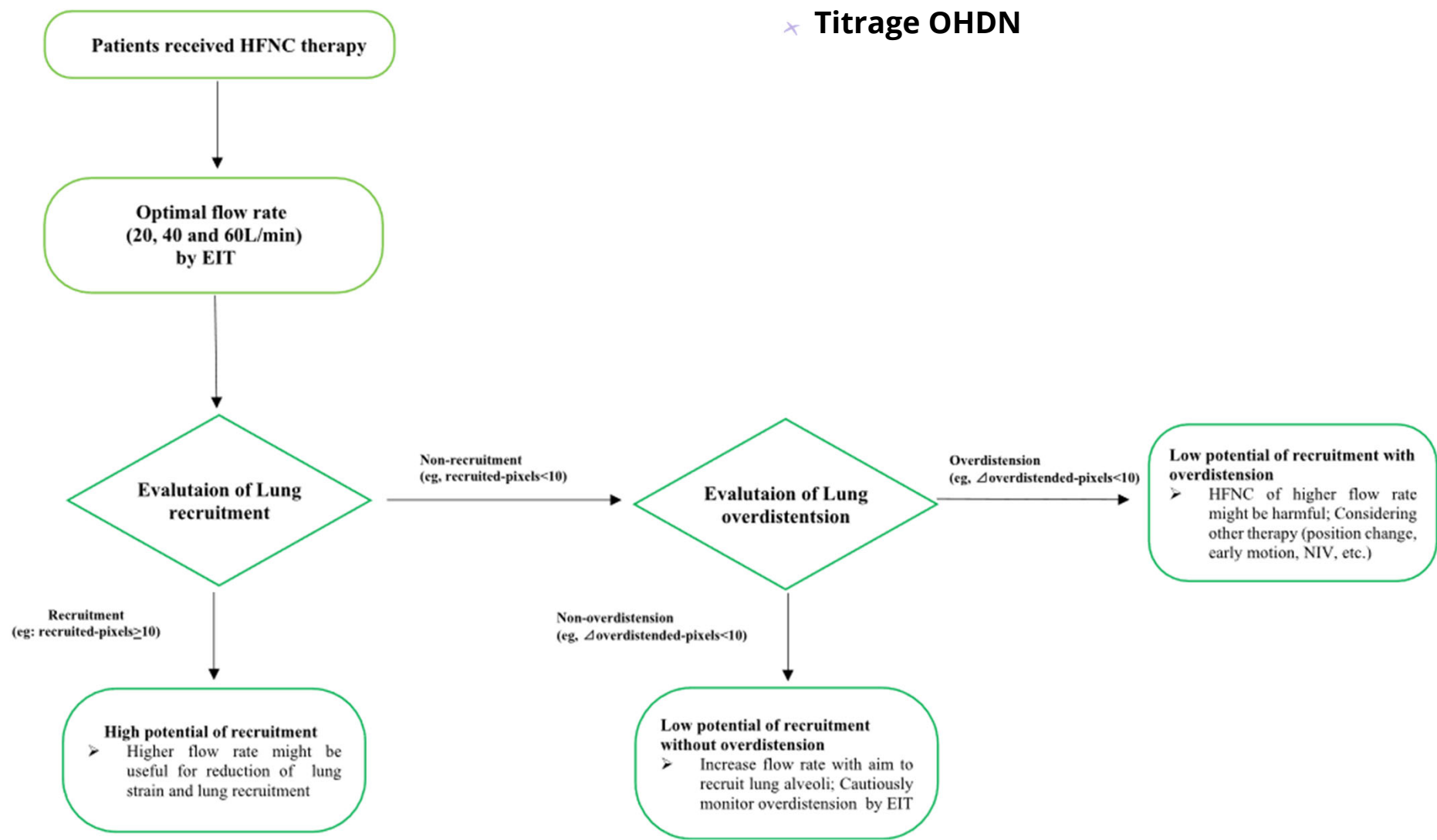


Fig. 3 Conceptual schematic for using EIT to guide HFNC therapy. NIV, non-invasive ventilation

Zhang et al. 2020

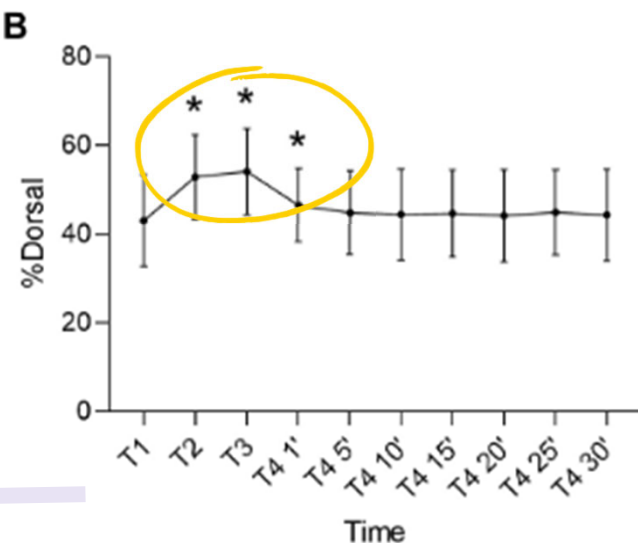
Recherche Clinique

Mobilisation Précoce

The Effect of Physical Therapy on Regional Lung Function in Critically Ill Patients

Christine Eimer*, Katharina Freiert, Norbert Weiler, Inéz Frerichs and Tobias Becher

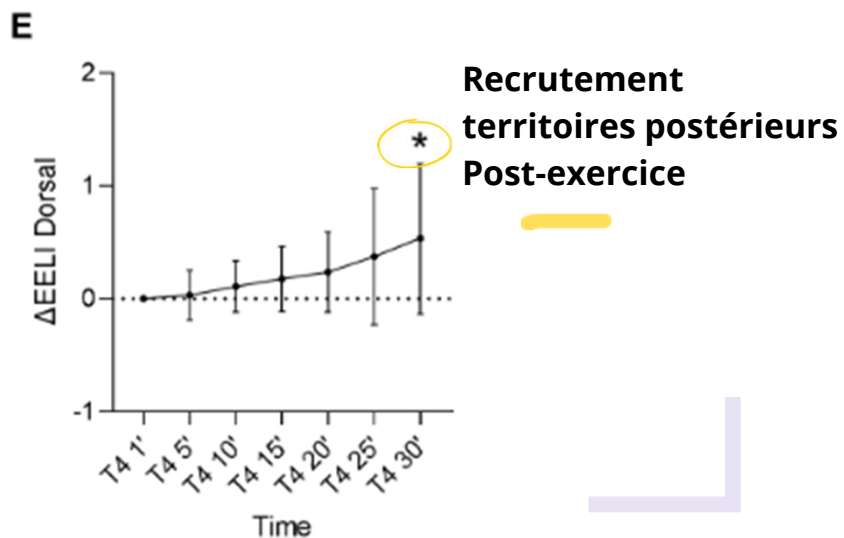
Department of Anaesthesiology and Intensive Care Medicine, University Medical Centre Schleswig-Holstein, Kiel, Germany



Redistribution de la ventilation dans les territoires postérieurs Per-exercice

Etude physiologique

10 patients
réa post-chir (dig, tho, vasculaire) en RS
16 minutes d'exercice en moyenne



Recrutement territoires postérieurs Post-exercice

Recherche Clinique

Mobilisation Précoce

Evaluation des pratiques

Acute Effects of Sitting Out of Bed and Exercise on Lung Aeration and Oxygenation in Critically Ill Subjects

Cheryl E Hickmann, Natalia R Montecinos-Munoz, Diego Castanares-Zapatero, Ricardo S Arriagada-Garrido, Ursula Jeria-Blanco, Timour Gizzatullin, Jean Roeseler, Jonathan Dugernier, Xavier Wittebole, and Pierre-François Laterre

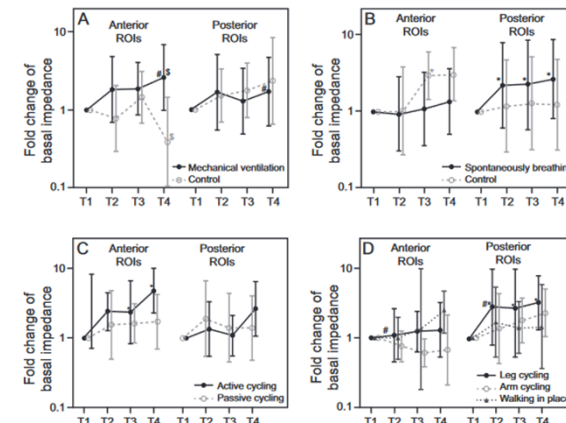
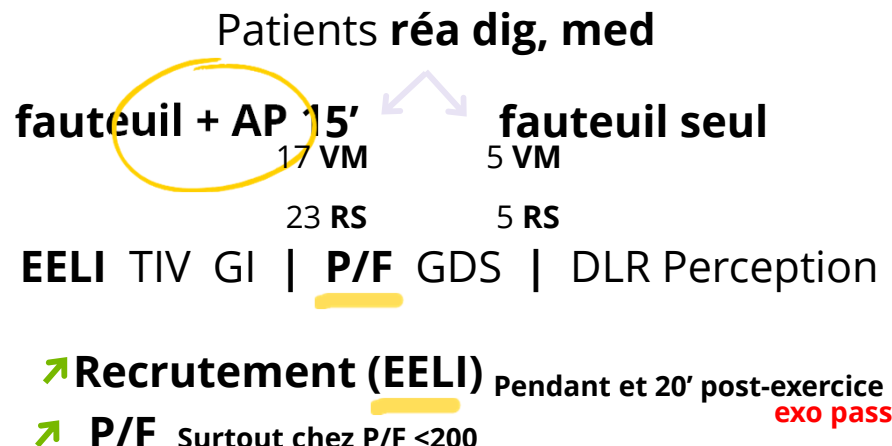


Fig. 2. Lung aeration in anterior and posterior ROIs. A: Mechanically ventilated vs mechanically ventilated control. B: Spontaneously breathing vs spontaneously breathing control. C: Subgroup of mechanically ventilated subjects performing active leg cycling vs mechanically ventilated subjects performing passive leg cycling. D: Subgroups of spontaneously breathing subjects performing three different activities: leg cycling, arm cycling, and walking in place. Values are geometric means (geometric SD) and are fold changes of impedance from basal (T1 = reference) to T2, T3, and T4. T1 = baseline in bed; T2 = sitting in chair; T3 = exercising (resting in chair in control groups); and T4 = resting in chair. *Values are significant vs T1. #Values are significant between anterior and posterior ROIs. \$Values are significant between mechanically ventilated subjects and mechanically ventilated controls. ROI = region of interest.

Recherche Clinique

Sevrage Ventilatoire

Etude Physiologique / Application Clinique

Electrical impedance tomography during spontaneous breathing trials and after extubation in critically ill patients at high risk for extubation failure: a multicenter observational study



Federico Longhini¹, Jessica Maugeri², Cristina Andreoni³, Chiara Ronco¹, Andrea Bruni⁴, Eugenio Garofalo⁴, Corrado Pelaia⁴, Camilla Cavicchi³, Sergio Pintaudi² and Paolo Navalesi^{4*}

78 patients réa med

I/V > 48h

SBT 30 min - 2PEP 0AI

- ✗ Distribution TIV% - EELI - GI index
- ✗ FR - Vt - GDS



SBT 0 - SBT30 SB 0 - SB30
Extubation

Table 3 EIT data in patients with SBT success and failure

	SBT success (n=61)			SBT failure (n=17)			Success vs. failure
	Baseline	SBT_0	SBT_30	Baseline	SBT_0	SBT_30	
ΔVt%	0 [0; 0]	-16.4 [-37.0; -2.5]	-12.9 [-35.0; 5.0]	0 [0; 0]	-27.6 [-51.0; -16.0]	-22.9 [-50.6; -13.3]	p > 0.999 ^a p = 0.079 ^b p = 0.054 ^c
ΔEELI (ml)	0 [0; 0]	-117 [-240; 21]	-103 [-292; 62]	0 [0; 0]	-456 [-934; -162]	-333 [-1375; -157]	p > 0.999 ^a p < 0.001 ^b p = 0.001 ^c
Inhomogeneity index	51 [44; 61]	56 [48; 71]	57 [46; 70]	65 [54; 87]	89 [61; 105]	90 [62; 101]	p = 0.002 ^a p = 0.003 ^b p = 0.005 ^c

SBT: Spontaneous Breathing Trial; SBT_0: first 5 min after the beginning of the SBT; SBT_30: last 5 min of the SBT; ΔVt%: change from baseline of the tidal volume in percentage; ΔEELI: change from baseline of the end-expiratory lung impedance

^a Comparison between groups within baseline

^b Comparison between groups within SBT_0

^c Comparison between groups within SBT_30. According to Bonferroni correction, the threshold for statistical significance is p < 0.017

→ Dérecrutement (EELI) et Ventilation Hétérogène

Longhini et al . 2019

Table 4 EIT data in patients with extubation success and failure

	Baseline	SBT_0	SBT_30	SB_0	SB_30
ΔVt%					
Extubation success (<i>n</i> =39)	0 [0; 0]	−12 [−31; 0]	−9 [−29; 7]	−3 [−16; 18]	−12 [−34; 19]
Extubation failure (<i>n</i> =22)	0 [0; 0]	−25 [−42; −10]	−29 [−45; −11]	−21 [−39; 1]	−22 [−46; −11]
Extubation success vs. failure	<i>p</i> >0.999	<i>p</i> =0.117	<i>p</i> =0.024	<i>p</i> =0.014	<i>p</i> =0.061
ΔEELI (ml)					
Extubation success (<i>n</i> =39)	0 [0; 0]	−125 [−237; 23]	−78 [−250; 115]	−187 [−488; 82]	−60 [−371; 256]
Extubation failure (<i>n</i> =22)	0 [0; 0]	−112 [−316; 17]	−194 [−335; −59]	−236 [−438; 139]	−290 [−537; 152]
Extubation success vs. failure	<i>p</i> >0.999	<i>p</i> =0.671	<i>p</i> =0.253	<i>p</i> >0.999	<i>p</i> =0.132
Inhomogeneity index					
Extubation success (<i>n</i> =39)	46 [42; 63]	53 [44; 68]	56 [44; 70]	52 [45; 66]	53 [45; 69]
Extubation failure (<i>n</i> =22)	53 [48; 60]	65 [55; 80]	62 [54; 71]	64 [50; 79]	66 [55; 74]
Extubation success vs. failure	<i>p</i> =0.166	<i>p</i> =0.025	<i>p</i> =0.132	<i>p</i> =0.049	<i>p</i> =0.029

SBT: Spontaneous Breathing Trial; SBT_0: first 5 min after the beginning of the SBT; SBT_30: last 5 min of the SBT; SB_0: first 5 min of the spontaneous breathing; SB_30: last 5 min of the spontaneous breathing; ΔVt%: change from baseline of the tidal volume in percentage; ΔEELI: change from baseline of the end-expiratory lung impedance

According to Bonferroni correction, the threshold for statistical significance is *p*<0.017

→ Pas de différences significatives ou de critères prédictifs (TIE et clinique) identifiés

Longhini et al . 2019

TIE

Applications Cliniques

Intérêt MKREA

Guider les choix thérapeutiques
Evaluation efficacité
Individualisation

Intubé / Ventilé / Sédaté

- Positionnement
- Désencombrement
- Réglage PEEP

Pluridisciplinaire

Vigile / RS

- Positionnement
- Technique de VNI
- Désencombrement
- BioFeedBack



TIE

Limites

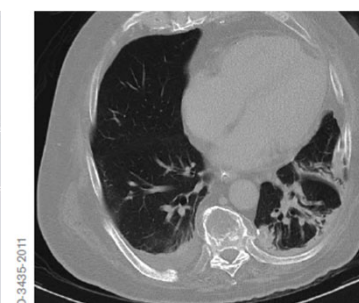
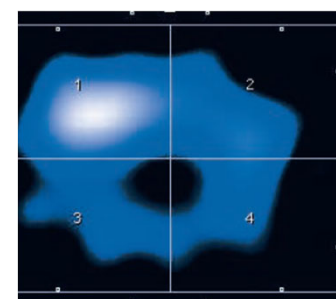


LIMITES et Biais

Frerichs et al. 2017

- Analyse d'une section transversale
- Temps de mesure : 24h maximum
- Perturbations des mesures
 - Environnement / Pansements
 - Mouvements / Paroles
 - Repositionnement ceinture
- Basse résolution spatiale

Freins à la
pratique clinique



Teschner, Imhoff, et Leonhardt, s. d.

TIE Limites



LIMITES et Biais

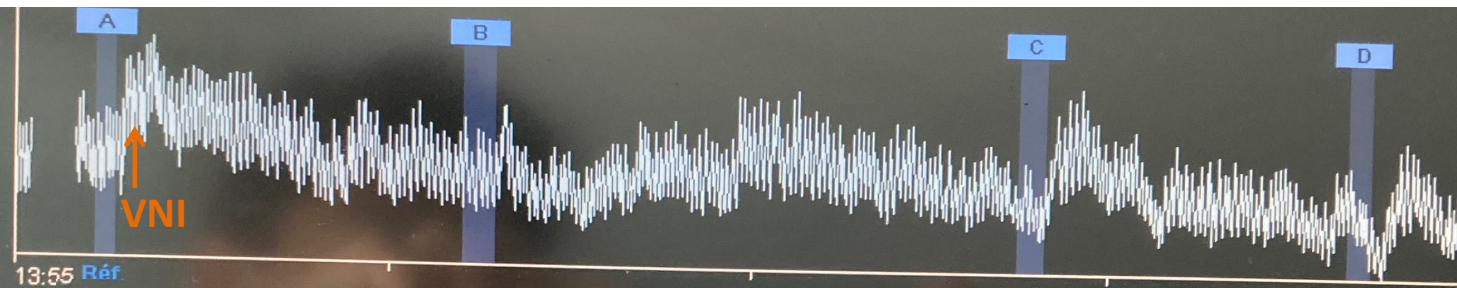
→ VS : analyse de la Compliance impossible Pmusc

Peso ?
Slobod et al. 2022

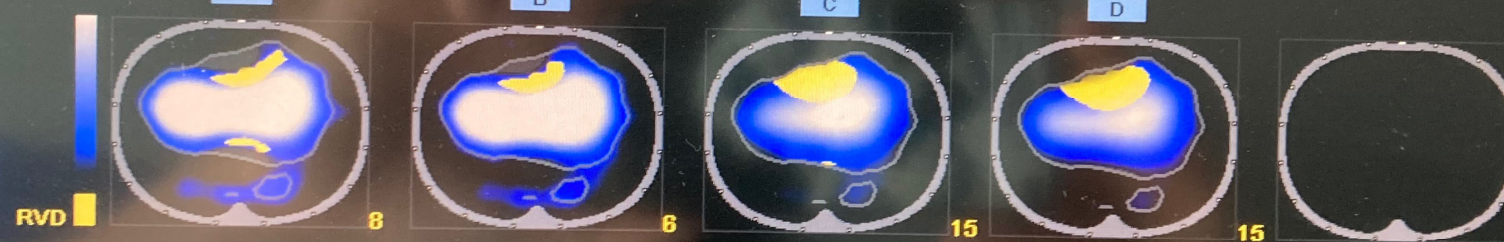
→ Interprétation des mesures :

- **Pas d'analyse des valeurs ABSOLUES d'impédances : trop grande variabilité inter-individu**
- **Biais importants entre deux positionnements de ceintures**
- **Analyse relative intra-individu sur un même positionnement de ceinture conseillée**

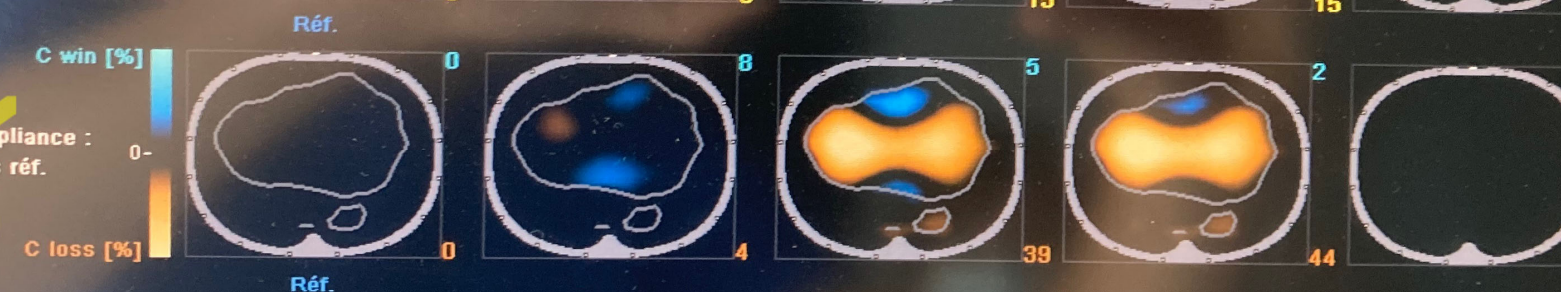
Freins à la
pratique clinique



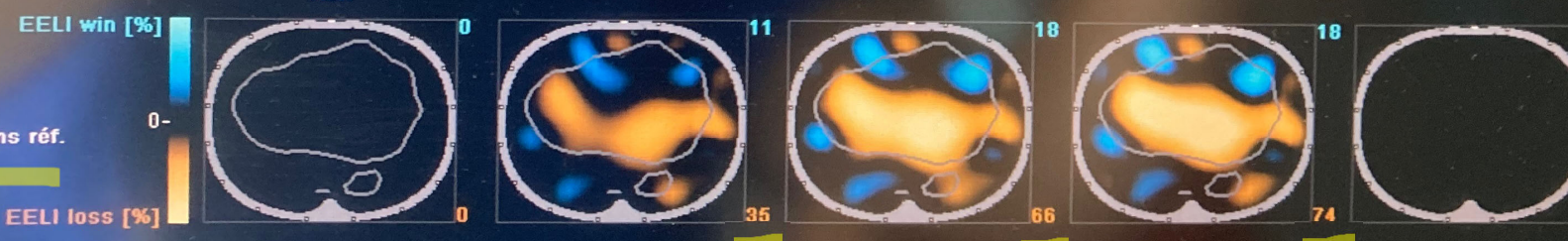
~~Images courantes +
Délai de vent. rég.~~



~~Variation compliance :
Section moins réf.~~



dEELI:
Section moins réf.



Effectuer
analyse...

Capturer
analyse

Revue
d'analyse...

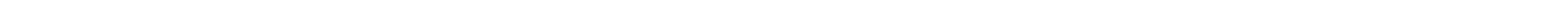
Créer
rapport

TIE

MKREA

Ventilation Non Invasive

Retour Expérience



TIE

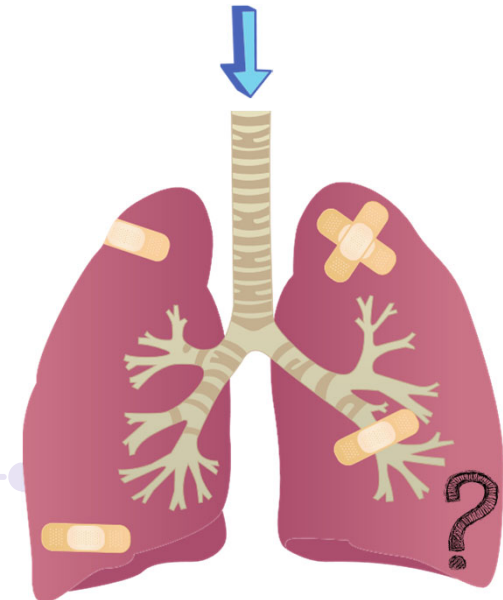
Ventilation Non Invasive



Monitorage

- SpO₂%
- Fréquence Respiratoire
- Gazométrie : PaO₂ - PaCO₂ - pH
- Volume courant expiré**
6-8 ml par kg de poids théorique

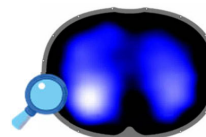
Jaber et al.
2010



Zones ventilées ?
Répartition du volume courant ?
Objectifs de recrutement atteint ?

TIE

Evaluation pratique : VNI et TIE



Distribution volume courant
Recrutement alvéolaire

Patient Mr D - J5 Lobectomie inférieure droite

- J0 : intervention LID - thoracotomie - CBNPC
- J1: réanimation thoracique
- J5 : secteur thoracique
 - Oxygénorequerant : SpO₂ 91% en AA
 - Auscultation : sibilants champ droit / **hypoventilation droite**
 - Douleur 2/10 (EN)
 - Drain pleural droit : ablation le 21/11/2020

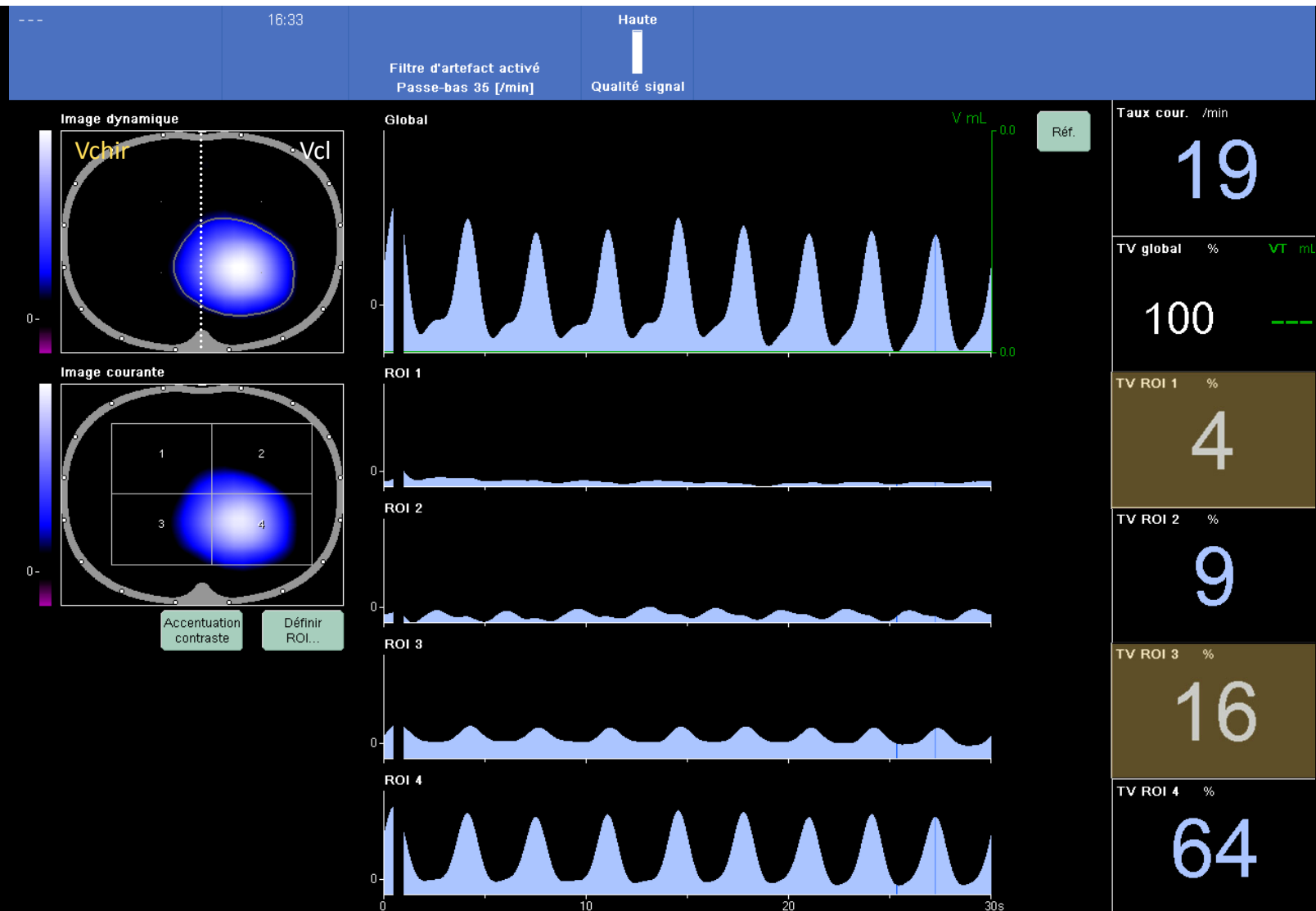


Prescription PPC

Recrutement alvéolaire poumon droit

- ✓ Patient - J5 LID
- ✓ PPC prescrite
- ✓ Pas de contre-indications EIT
- ✓ Consentant

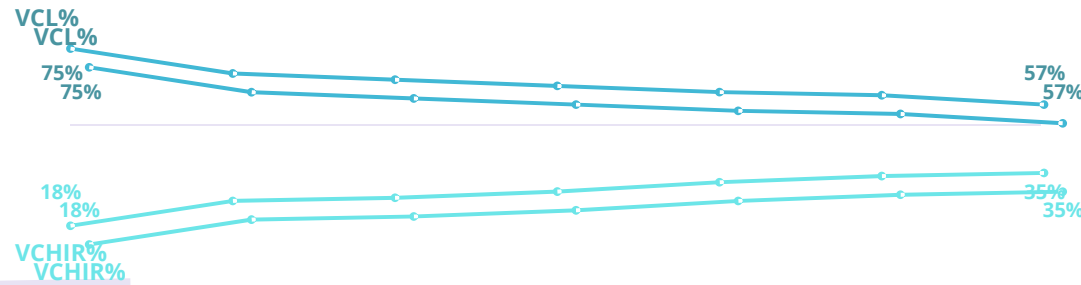
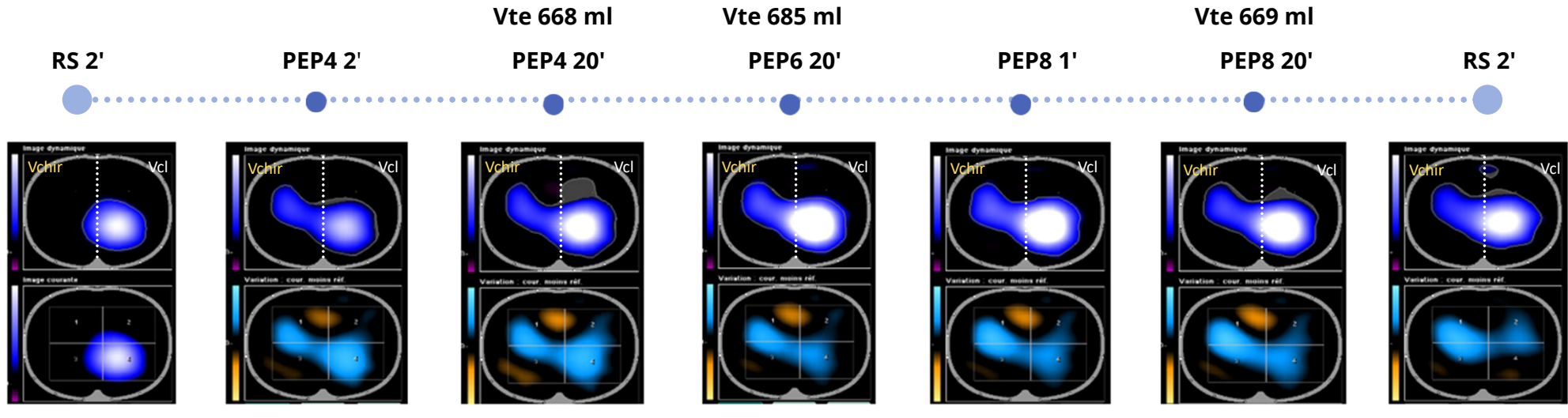




TIE

Evaluation pratique

Mr D - 65 ans - J5 LID - Séance PPC 60' - Vt cible (8ml/kgpp) : 572 ml



- ✓ Nouveaux territoires pulmonaires recrutés
- ✓ Répartition plus homogène du Vt
- ✓ SpO₂ 98%
- ✓ Patient confortable, somnolant



TIE

Evaluation pratique 2 : VNI et TIE

Cas clinique Mr B 45 ans - J3 Décortication pleurale gauche

- **HDM :** Pneumopathie Grippe A
Pleuropneumopathie poumon gauche
- **J0 :** Décortication pleurale poumon gauche
- **J3 :** réanimation thoracique
 - Oxygénorequierant : SpO₂ 94% sous 2L O₂
 - Auscultation : hypoventilation poumon gauche
 - Rx : atelectasie poumon gauche
 - Drain pleural gauche : en aspiration, bullage

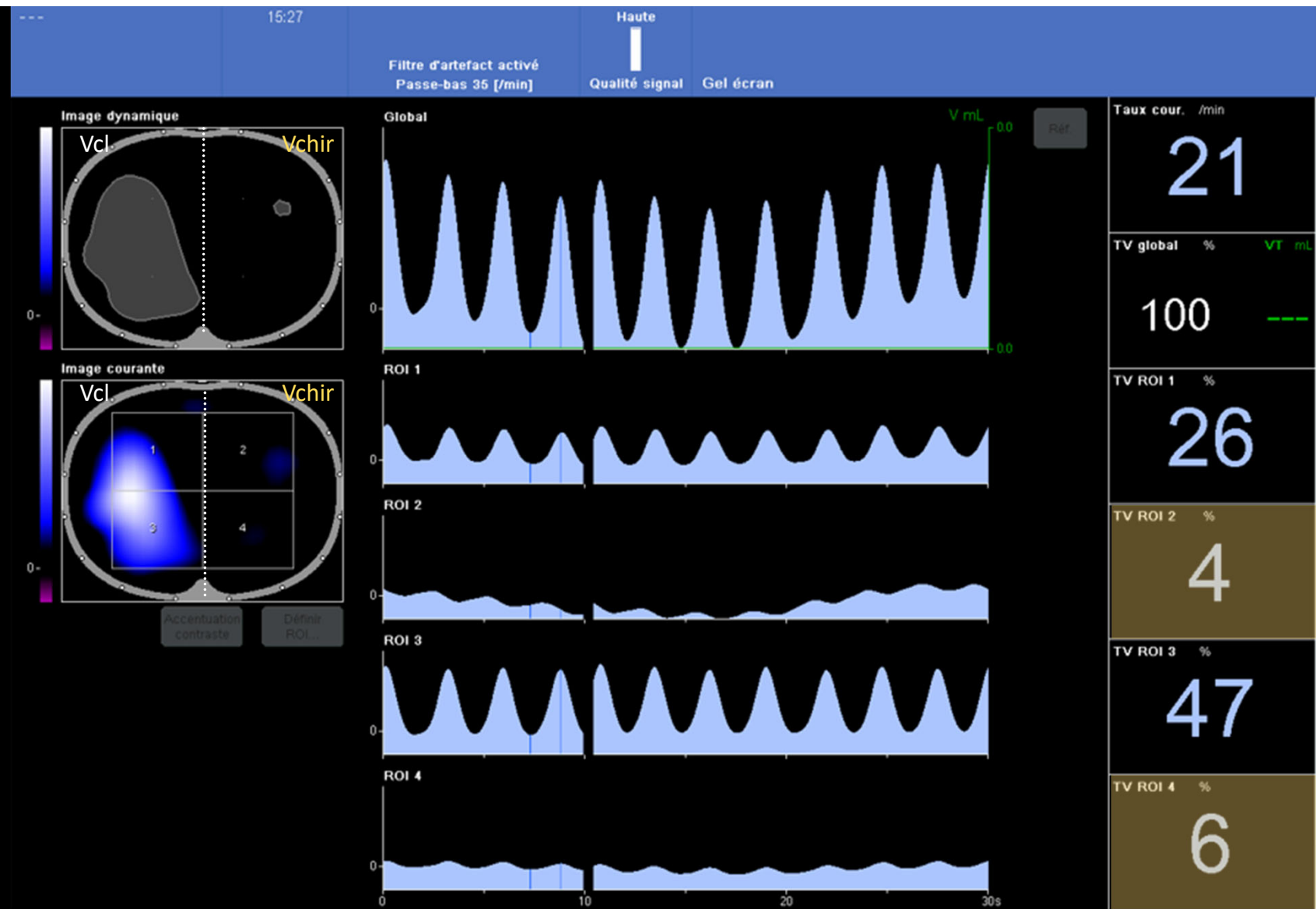


Prescription PPC intermittente

Reexpansion pulmonaire poumon gauche
Recrutement alvéolaire poumon gauche

- ✓ Patient - J3 Décortication pleurale
- ✓ PPC prescrite
- ✓ Pas de contre-indications EIT
- ✓ Consentant

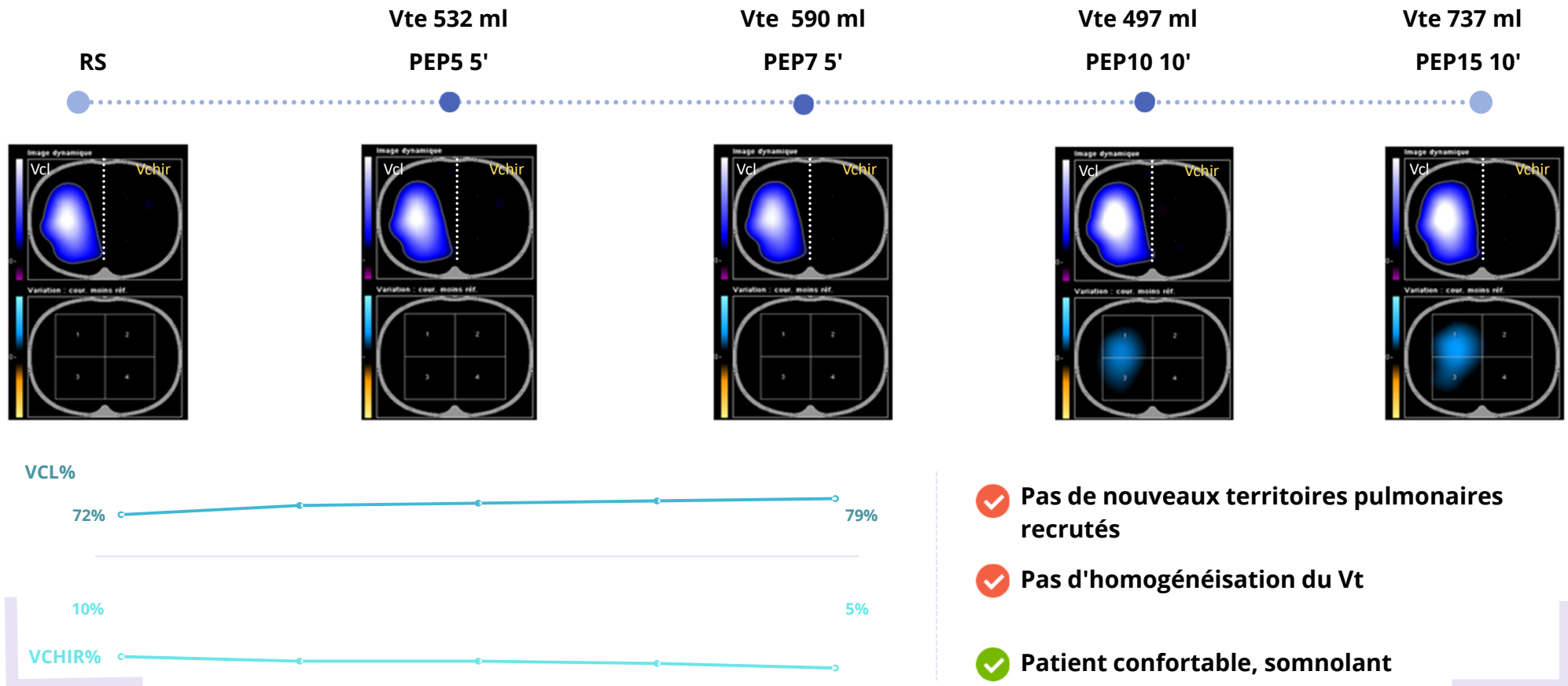




TIE

Evaluation pratique 2

Mr B - 45 ans - J3 DPG - Séance PPC 30' à 60' - Vt cible (8ml/kgpp) : 600 ml



TIE

Applications Cliniques

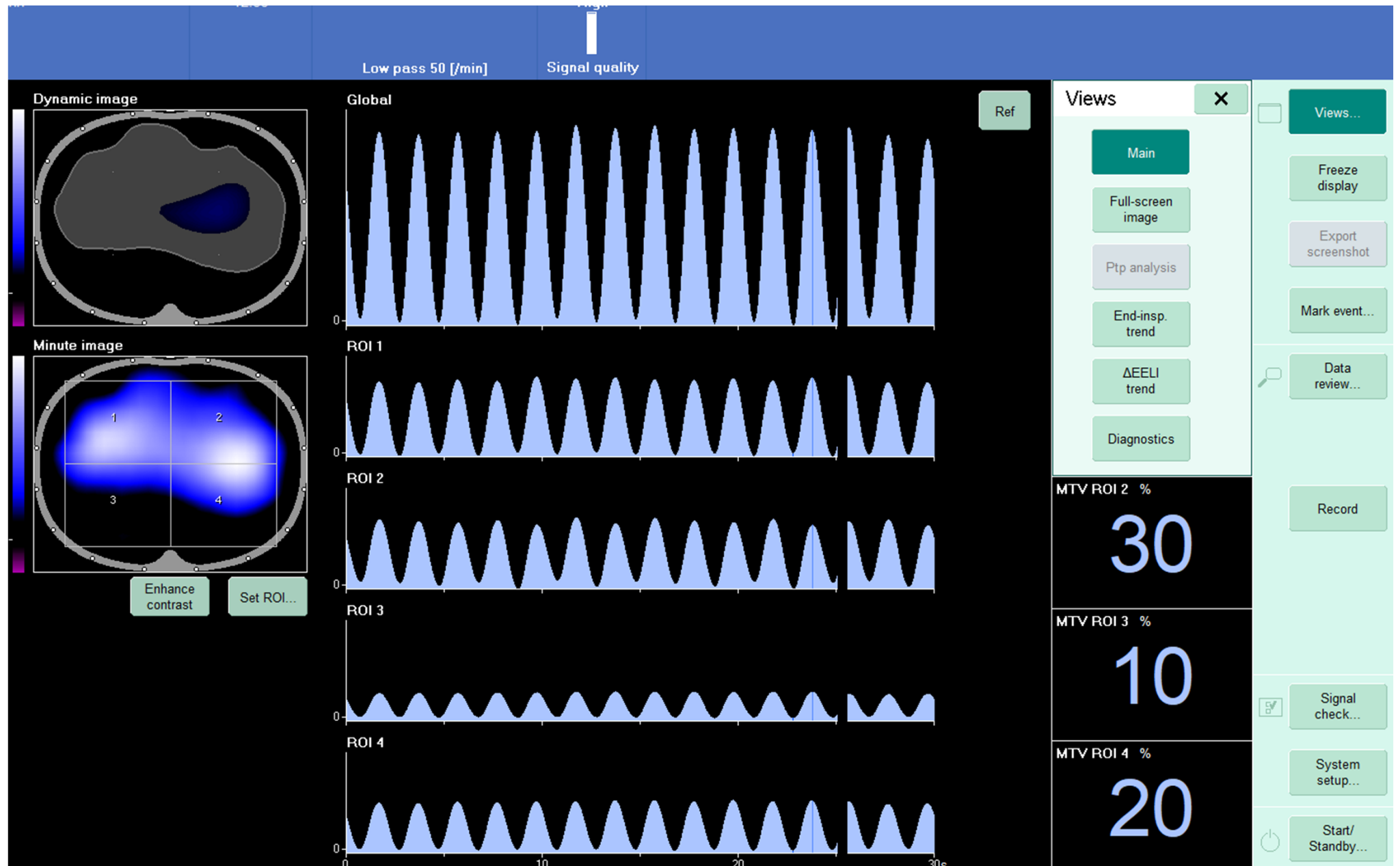
Titrage PEEP

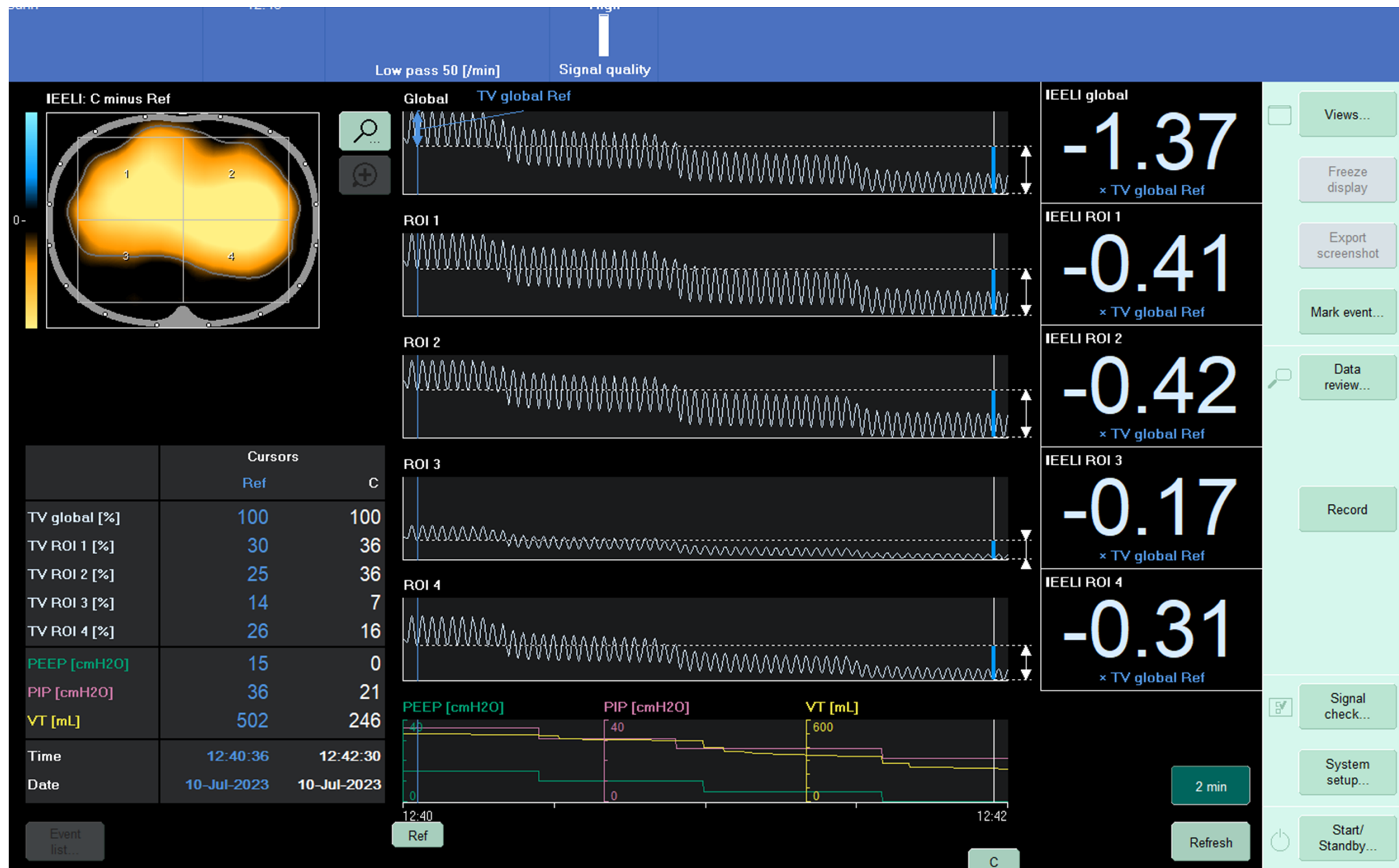


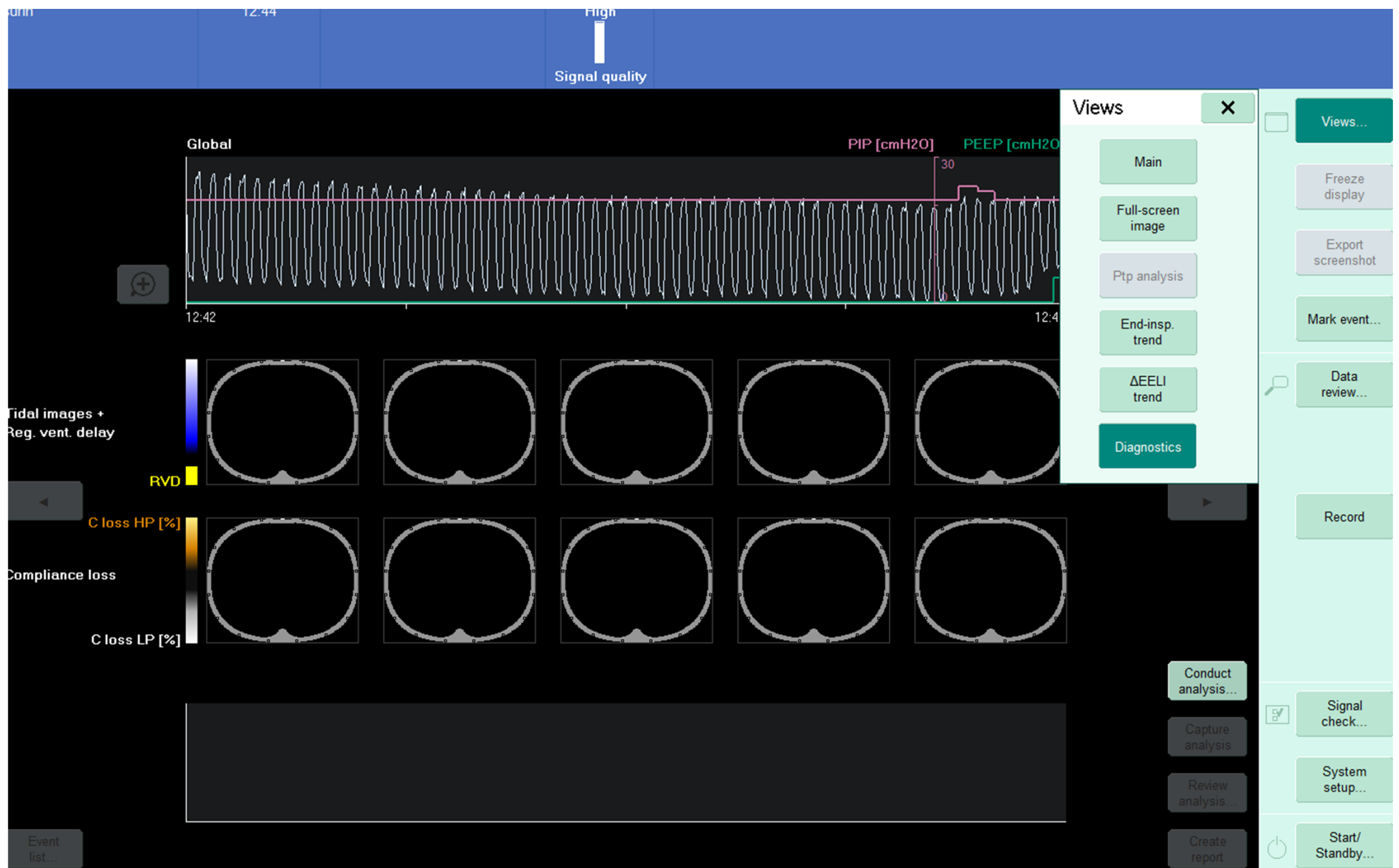
Attention : il existe un pod de connexion au respirateurs Dräger pour associer les données de Pression (aw, oeso) au Pulmovista (PEEP Trial, elastance..) néanmoins il y a un décalage de synchronisation des données Paw et EIT.

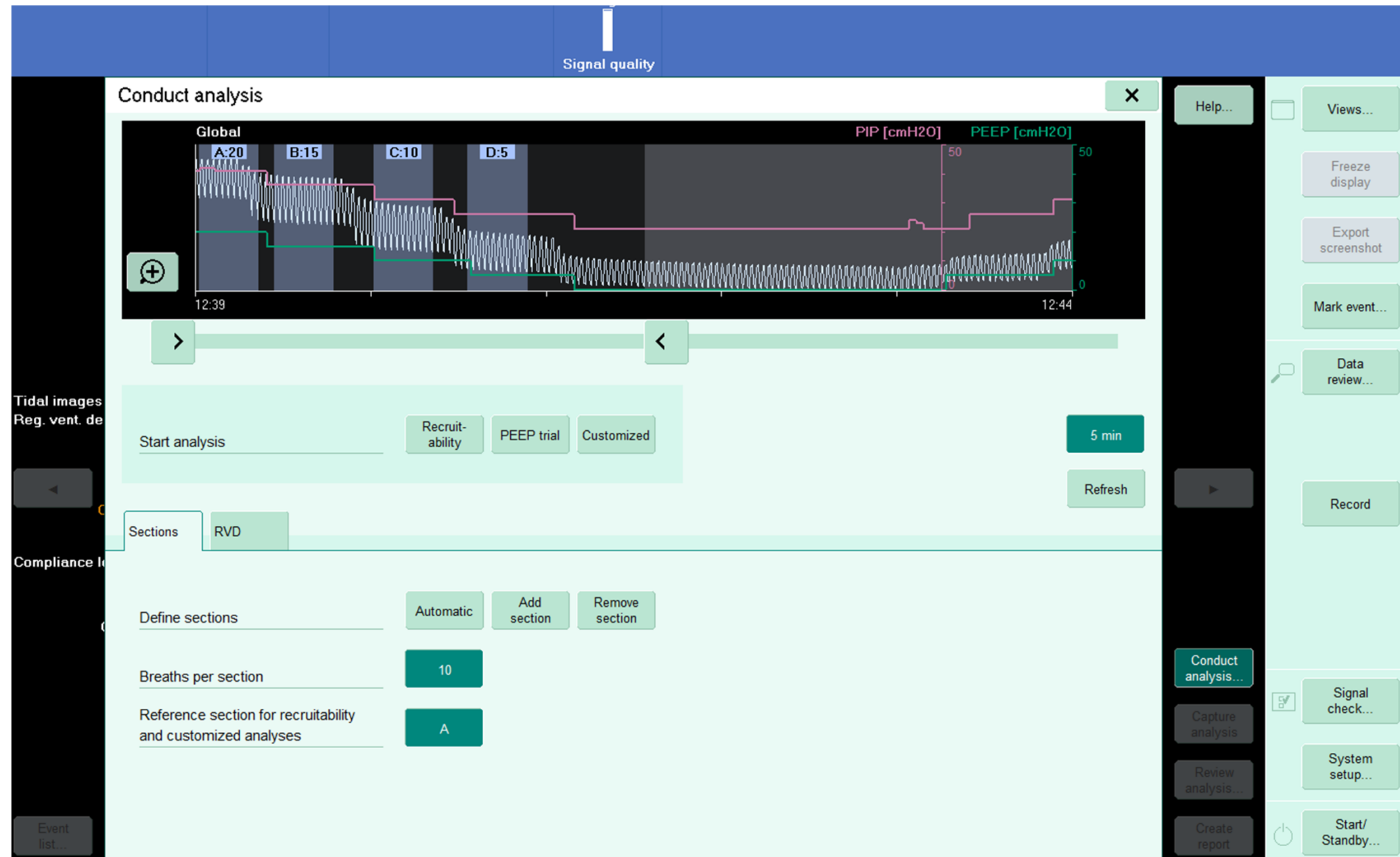
Pour éviter cela il est possible de connecter directement le Pulmovista au respirateur via une prise VGA.

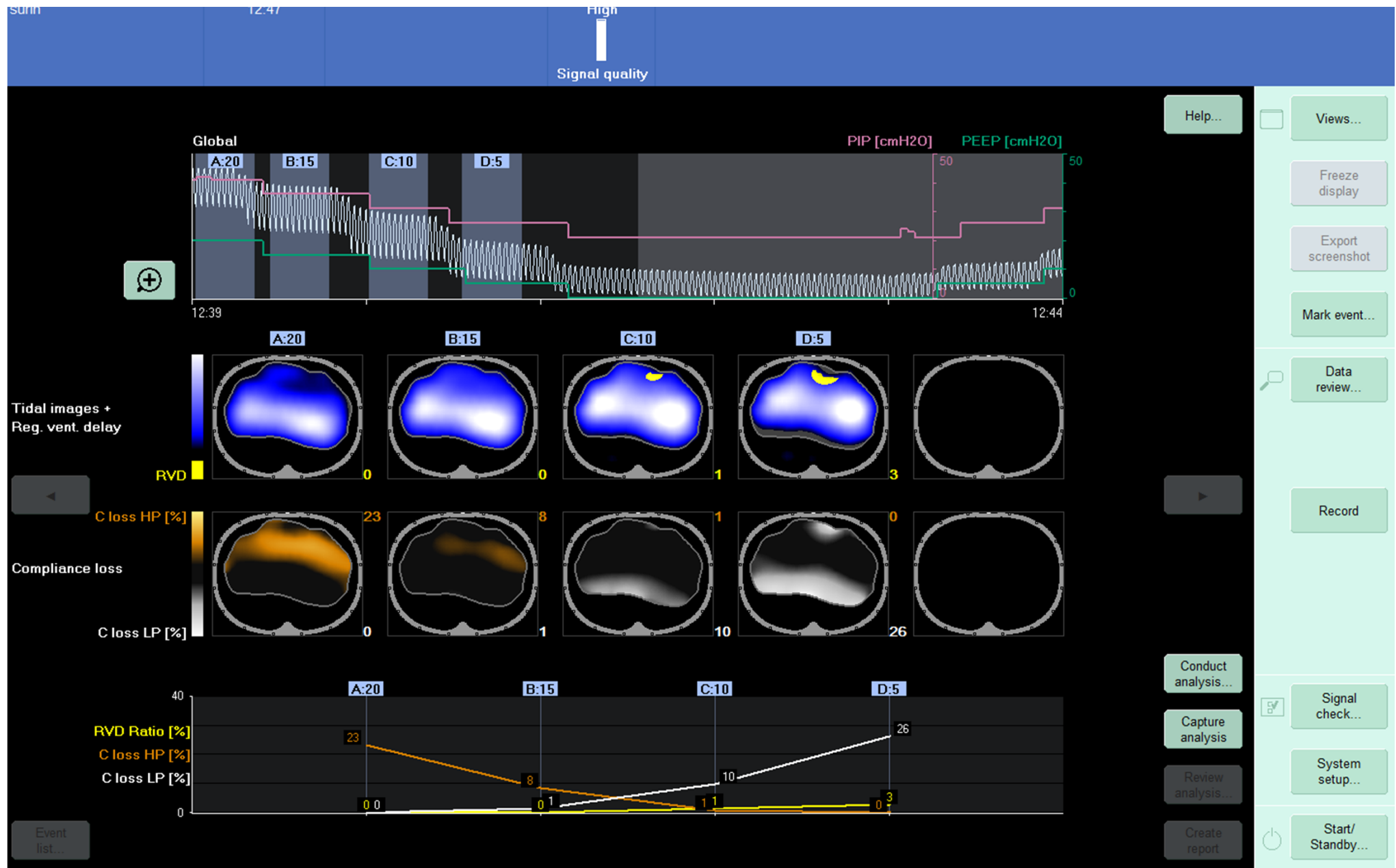












TIE

Discussion

Applications Cliniques MKREA

→ Place dans l'arsenal d'outils d'évaluation ?

- Clinique -
- Auscultation -
- GDS -
- Rx -
- Echographie -

Complémentarité

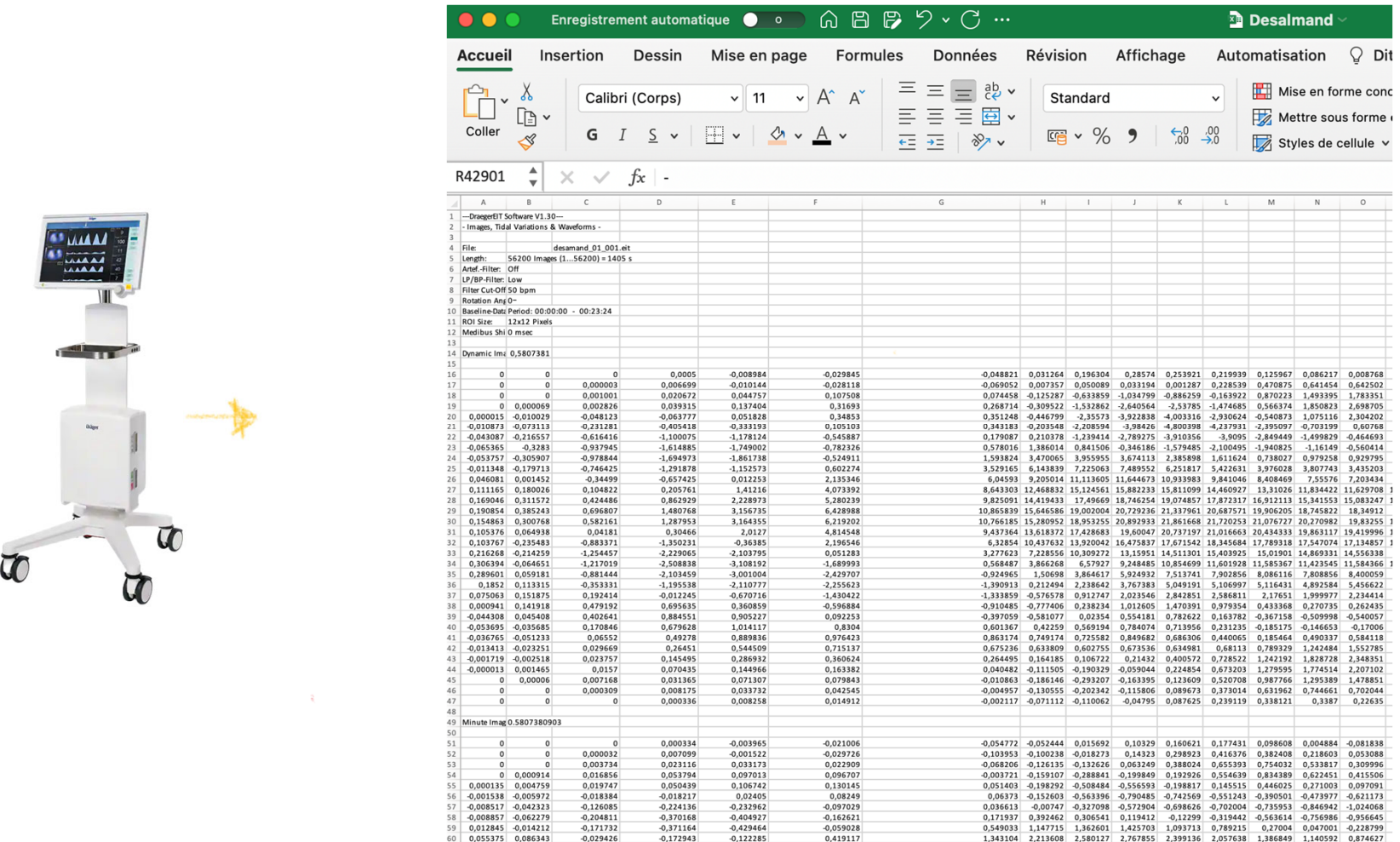


Bénéfices
Théoriques

Bénéfices
Cliniques ?

TIE

Analyses post-mesures



TIE
CONTRIBUTION



**Evaluation des pratiques
Recherche Clinique**



**Individualisation du soin
Pratique Clinique**

**Outils Pédagogique
Formation**

Références

- Adler, Andy, Marcelo Amato, John Arnold, Richard Bayford, Marc Bodenstein, Stephan Bohm, Brian Brown, et al. 2012. « Whither lung EIT: Where are we, where do we want to go and what do we need to get there? » *Physiological measurement* 33 (avril): 679-94. <https://doi.org/10.1088/0967-3334/33/5/679>.
- Barber, D C, et B H Brown. s. d. « Applied Potential Tomography », 12.
- Bordes, Julien, Philippe Goutorbe, Pierre Julien Cungi, Marie Caroline Boghossian, et Eric Kaiser. 2016. « Noninvasive Ventilation during Spontaneous Breathing Anesthesia: An Observational Study Using Electrical Impedance Tomography ». *Journal of Clinical Anesthesia* 34 (novembre): 420-26. <https://doi.org/10.1016/j.jclinane.2016.04.016>.
- Costa, Eduardo L. V., João Batista Borges, Alexandre Melo, Fernando Suarez-Sipmann, Carlos Toufen, Stephan H. Bohm, et Marcelo B. P. Amato. 2009. « Bedside Estimation of Recruitable Alveolar Collapse and Hyperdistension by Electrical Impedance Tomography ». *Intensive Care Medicine* 35 (6): 1132-37. <https://doi.org/10.1007/s00134-009-1447-y>.
- Eimer, Christine, Katharina Freier, Norbert Weiler, Inéz Frerichs, et Tobias Becher. 2021. « The Effect of Physical Therapy on Regional Lung Function in Critically Ill Patients ». *Frontiers in Physiology* 12 (septembre): 749542. <https://doi.org/10.3389/fphys.2021.749542>.
- Frerichs, Inéz, Marcelo B. P. Amato, Anton H. van Kaam, David G. Tingay, Zhanqi Zhao, Bartłomiej Grychtol, Marc Bodenstein, et al. 2017. « Chest Electrical Impedance Tomography Examination, Data Analysis, Terminology, Clinical Use and Recommendations: Consensus Statement of the TRanslational EIT DevelopmeNt StuDy Group ». *Thorax* 72 (1): 83-93. <https://doi.org/10.1136/thoraxjnl-2016-208357>.
- Genderingen, Huibert R. van, Adrianus J. van Vught, et Jos R. C. Jansen. 2003. « Estimation of Regional Lung Volume Changes by Electrical Impedance Pressures Tomography during a Pressure-Volume Maneuver ». *Intensive Care Medicine* 29 (2): 233-40. <https://doi.org/10.1007/s00134-002-1586-x>.
- Hickmann, Cheryl E., Natalia R. Montecinos-Munoz, Diego Castanares-Zapatero, Ricardo S. Arriagada-Garrido, Ursula Jeria-Blanco, Timour Gizzatullin, Jean Roeseler, Jonathan Dugernier, Xavier Wittebole, et Pierre-François Laterre. 2020. « Acute Effects of Sitting Out of Bed and Exercise on Lung Aeration and Oxygenation in Critically Ill Subjects ». *Respiratory Care*, septembre. <https://doi.org/10.4187/respcare.07487>.
- Hinz, J., G. Hahn, P. Neumann, M. Sydow, P. Mohrenweiser, G. Hellige, et H. Burchardi. 2003. « End-Expiratory Lung Impedance Change Enables Bedside Monitoring of End-Expiratory Lung Volume Change ». *Intensive Care Medicine* 29 (1): 37-43. <https://doi.org/10.1007/s00134-002-1555-4>.
- Jaber, Samir, Gerald Chanques, Boris Jung, et Bruno Riou. 2010. « Postoperative Noninvasive Ventilation ». *Anesthesiology* 112 (2): 453-61. <https://doi.org/10.1097/ALN.0b013e3181c5e5f2>.
- Lehmann, Sylvia, Steffen Leonhardt, Chuong Ngo, Lukas Bergmann, Simone Schrading, Konrad Heimann, Norbert Wagner, et Klaus Tenbrock. 2018. « Electrical Impedance Tomography as Possible Guidance for Individual Positioning of Patients with Multiple Lung Injury ». *The Clinical Respiratory Journal* 12 (1): 68-75. <https://doi.org/10.1111/crj.12481>.

Références

- Longhini, Federico, Jessica Maugeri, Cristina Andreoni, Chiara Ronco, Andrea Bruni, Eugenio Garofalo, Corrado Pelaia, Camilla Cavicchi, Sergio Pintaudi, et Paolo Navalesi. 2019. « Electrical Impedance Tomography during Spontaneous Breathing Trials and after Extubation in Critically Ill Patients at High Risk for Extubation Failure: A Multicenter Observational Study ». *Annals of Intensive Care* 9 (1): 88. <https://doi.org/10.1186/s13613-019-0565-0>.
- Mauri, Tommaso, Cecilia Turrini, Nilde Eronia, Giacomo Grasselli, Carlo Alberto Volta, Giacomo Bellani, et Antonio Pesenti. 2017. « Physiologic Effects of High-Flow Nasal Cannula in Acute Hypoxemic Respiratory Failure ». *American Journal of Respiratory and Critical Care Medicine* 195 (9): 1207-15. <https://doi.org/10.1164/rccm.201605-0916OC>.
- Pérez-Terán, Purificación, Judith Marin-Corral, Irene Dot, Sergio Sans, Rosana Muñoz-Bermúdez, Raquel Bosch, Clara Vila, et Joan Ramon Masclans. 2019. « Aeration Changes Induced by High Flow Nasal Cannula Are More Homogeneous than Those Generated by Non-Invasive Ventilation in Healthy Subjects ». *Journal of Critical Care* 53: 186-92. <https://doi.org/10.1016/j.jcrc.2019.06.009>.
- Putensen, Christian, Benjamin Hentze, Stefan Muenster, et Thomas Muders. 2019. « Electrical Impedance Tomography for Cardio-Pulmonary Monitoring ». *Journal of Clinical Medicine* 8 (8). <https://doi.org/10.3390/jcm8081176>.
- Reychler, Gregory, Valeska Uribe Rodriguez, Cheryl Elizabeth Hickmann, Bertrand Tombal, Pierre-François Laterre, Axel Feyaerts, et Jean Roeseler. 2018. « Incentive Spirometry and Positive Expiratory Pressure Improve Ventilation and Recruitment in Postoperative Recovery: A Randomized Crossover Study ». *Physiotherapy Theory and Practice*, février, 1-7. <https://doi.org/10.1080/09593985.2018.1443185>.
- Riedel, Thomas, Tanya Richards, et Andreas Schibler. 2005. « The Value of Electrical Impedance Tomography in Assessing the Effect of Body Position and Positive Airway Pressures on Regional Lung Ventilation in Spontaneously Breathing Subjects ». *Intensive Care Medicine* 31 (11): 1522-28. <https://doi.org/10.1007/s00134-005-2734-x>.
- Roldán, Rollin, Shalim Rodriguez, Fernando Barriga, Mauro Tucci, Marcus Victor, Glasiele Alcala, Renán Villamonte, et al. 2022. « Sequential Lateral Positioning as a New Lung Recruitment Maneuver: An Exploratory Study in Early Mechanically Ventilated Covid-19 ARDS Patients ». *Annals of Intensive Care* 12 (1): 13. <https://doi.org/10.1186/s13613-022-00988-9>.
- Rowley, Daniel D., Thomas P. Malinowski, Joseph L. Di Peppe, Ryan M. Sharkey, Daniel U. Gochenour, et Kyle B. Enfield. 2019. « A Randomized Controlled Trial Comparing Two Lung Expansion Therapies After Upper Abdominal Surgery ». *Respiratory Care*, mai. <https://doi.org/10.4187/respcare.06812>.
- Sánchez-Iglesias, Andrés, Milagros Fernández-Lucas, et José L. Teruel. 2012. « The Electrical Basis of Bioimpedance ». *Nefrología (English Edition)* 32 (2): 133-35. <https://doi.org/10.3265/Nefrologia.pre2012.Jan.11310>.

Références

- Sella, Nicolò, Tommaso Pettenuzzo, Francesco Zarantonello, Giulio Andreatta, Alessandro De Cassai, Chiara Schiavolin, Caterina Simoni, Laura Pasin, Annalisa Boscolo, et Paolo Navalesi. 2021. « Electrical Impedance Tomography: A Compass for the Safe Route to Optimal PEEP ». *Respiratory Medicine* 187 (octobre): 106555. <https://doi.org/10.1016/j.rmed.2021.106555>.
- Shono, Atsuko, et Toru Kotani. 2019. « Clinical Implication of Monitoring Regional Ventilation Using Electrical Impedance Tomography ». *Journal of Intensive Care* 7: 4. <https://doi.org/10.1186/s40560-019-0358-4>.
- Teschner, Eckhard, Michael Imhoff, et Steffen Leonhardt. s. d. « Electrical Impedance Tomography: The Realisation of Regional Ventilation Monitoring. Notice Fabricant Dräger. 2nd Édition. » Notice Fabricant Dräger: 152.
- Thomson, Jessica, Christoph M. Rüegger, Elizabeth J. Perkins, Prue M. Pereira-Fantini, Olivia Farrell, Louise S. Owen, et David G. Tingay. 2020. « Regional Ventilation Characteristics during Non-Invasive Respiratory Support in Preterm Infants ». *Archives of Disease in Childhood. Fetal and Neonatal Edition*, novembre. <https://doi.org/10.1136/archdischild-2020-320449>.
- Wang, Guan, Lei Zhang, Bin Li, Bingyin Niu, Jian Jiang, Duo Li, Zhu Yue, et Yibing Weng. 2021. « The Application of Electrical Impedance Tomography During the Ventilator Weaning Process ». *International Journal of General Medicine* 14: 6875-83. <https://doi.org/10.2147/IJGM.S331772>.
- Yuan, Siyi, Yi Chi, Yun Long, Huaiwu He, et Zhanqi Zhao. 2021. « Effect of Position Change From the Bed to a Wheelchair on the Regional Ventilation Distribution Assessed by Electrical Impedance Tomography in Patients With Respiratory Failure ». *Frontiers in Medicine* 8: 744958. <https://doi.org/10.3389/fmed.2021.744958>.
- Yuan, Zhiyong, Xiaoning Han, Lisha Wang, Ping Xue, Yunbo Sun, Inéz Frerichs, Knut Möller, Jinyan Xing, et Zhanqi Zhao. 2020. « Oxygen Therapy Delivery and Body Position Effects Measured With Electrical Impedance Tomography ». *Respiratory Care* 65 (3): 281-87. <https://doi.org/10.4187/respcare.07109>.
- Zhang, Rui, Huaiwu He, Long Yun, Xiang Zhou, Xu Wang, Yi Chi, Siyi Yuan, et Zhanqi Zhao. 2020. « Effect of Postextubation High-Flow Nasal Cannula Therapy on Lung Recruitment and Overdistension in High-Risk Patient ». *Critical Care (London, England)* 24 (1): 82. <https://doi.org/10.1186/s13054-020-2809-7>.
- Zhao, Zhanqi, Knut Möller, Daniel Steinmann, Inéz Frerichs, et Josef Guttmann. 2009. « Evaluation of an Electrical Impedance Tomography-Based Global Inhomogeneity Index for Pulmonary Ventilation Distribution ». *Intensive Care Medicine* 35 (11): 1900-1906. <https://doi.org/10.1007/s00134-009-1589-y>.